

GUÍA 1

I: Transformaciones de Simetría. Ley de Gauss. Ley de Ampere

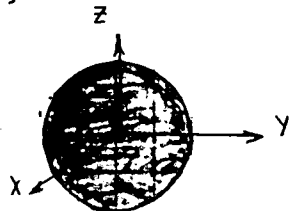
4.

* a.

$$i) \rho(\vec{r}) = \begin{cases} 0 & r > R \\ \rho_0 & r \leq R \end{cases}$$

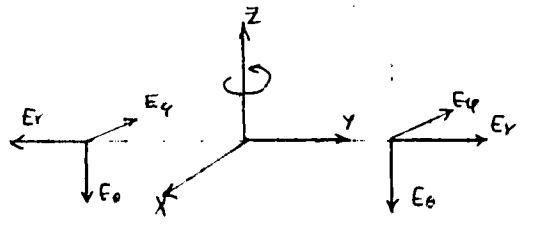
$$\rho = \frac{Q}{\frac{4\pi R^3}{3}} \xrightarrow{\text{carga total}} \frac{4\pi r^3}{3} \xrightarrow{\text{radio esfera}}$$

ii)

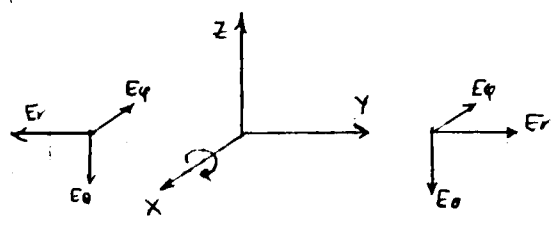


simetría de rotación en φ
simetría de rotación en θ
simetría de reflexión en XZ, YZ, XY

(valen también dentro de la esfera pues ρ es uniforme)



$$\begin{aligned} E'_r &= E_r = E_r \\ E'_\varphi &= -E_\theta = E_\varphi \\ E'_\theta &= E_\theta = E_\theta \end{aligned} \xrightarrow{\text{reflexión en } XZ} \rightarrow E_\theta = 0$$

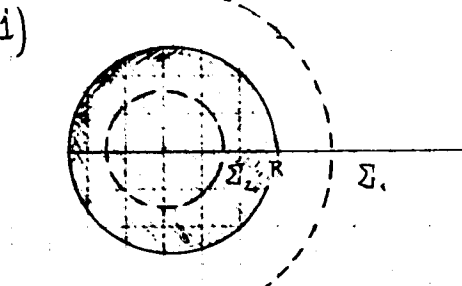


$$\begin{aligned} E'_r &= E_r = E_r \\ E'_\varphi &= -E_\varphi = E_\varphi \\ E'_\theta &= E_\theta = -E_\theta \end{aligned} \xrightarrow{\text{reflexión en } XZ} \xrightarrow{\text{rotación en } \theta (\pi)} \rightarrow E_\theta = 0$$

$\vec{E} \neq \vec{E}(\varphi, \theta)$ pues rotando en φ, θ tengo situaciones físicas indistinguibles

$$\Rightarrow \boxed{\vec{E} = E(r)\hat{r}}$$

iii)



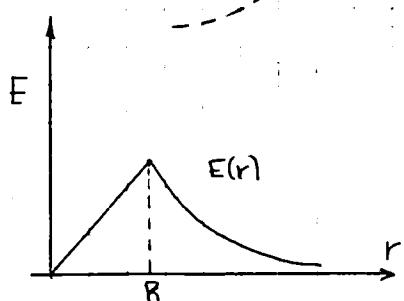
$r > R$

$$\oint \vec{E} \cdot d\vec{S} = 4\pi Q$$

$$E \cdot 4\pi r^2 = 4\pi Q$$

$$\boxed{\vec{E} = \frac{Q}{r^2} \hat{r}}$$

$r < R$



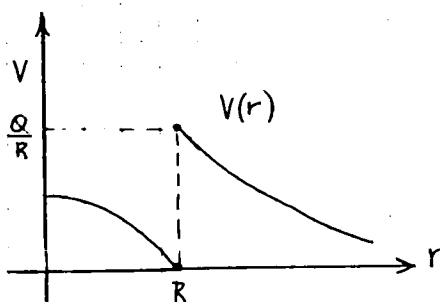
$$\oint \vec{E} \cdot d\vec{S} = 4\pi \left(\frac{4\pi r^3}{3} \right) \rho_0$$

$$E \cdot 4\pi r^2 = 4\pi \frac{4\pi r^3}{3} \rho_0$$

$$E = \frac{4\pi r \rho_0}{3} \hat{r}$$

$$\boxed{\vec{E} = \frac{Qr}{R^2} \hat{r}}$$

$$\text{iv) } V = \int_{\infty}^r \vec{E} \cdot d\vec{r} - \left[\int_r^{\infty} \frac{Q}{r^2} (-dr) - \int_r^R \frac{Q}{R^3} r (-dr) \right] - \frac{Q}{r} \Big|_r + \frac{Q r^2}{R^3 2} \Big|_r - Q \left(\frac{1}{\infty} - \frac{1}{r} \right) + \frac{Q}{2R^3} (R^2 - r^2)$$

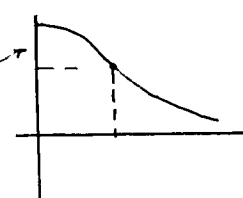


$$V(r > R) = \frac{Q}{r}$$

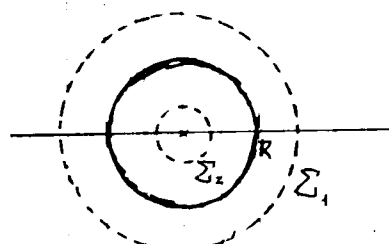
$$V(r < R) = \frac{Q}{2R} - \frac{Q r^2}{2R^3}$$

$$V(r < R) = \frac{3Q}{2R} - \frac{Q r^2}{2R^3}$$

este sí empalma



* b.



$$\text{i) } \rho(\vec{r}) = \begin{cases} 0 & r > R \\ \delta(r-R) \cdot \sigma & r < R \end{cases} \quad r=R$$

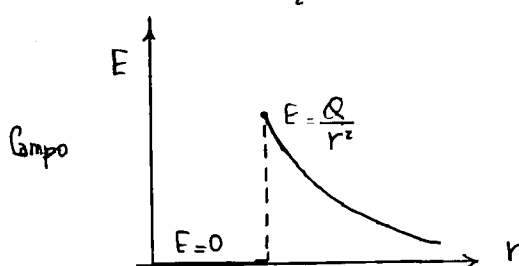
ii)

$$\begin{matrix} \text{con } r > R \\ \text{o } r < R \end{matrix} \left\{ \begin{array}{l} \text{Simetría de rotación en } \varphi, \theta \\ \text{Simetría de reflexión en } xy, xz, yz \end{array} \right.$$

[ya sea dentro o fuera del casquete] $\rightarrow \vec{E} = E(r) \hat{r} \leftarrow$ (por los mismos argumentos que la esfera maciza) \rightarrow cumple las mismas simetrías

$$\text{iii) } \oint_{\Sigma_1} \vec{E} \cdot d\vec{S} = 4\pi Q \rightarrow \vec{E} = \frac{Q}{r^2} \hat{r} \quad (r > R)$$

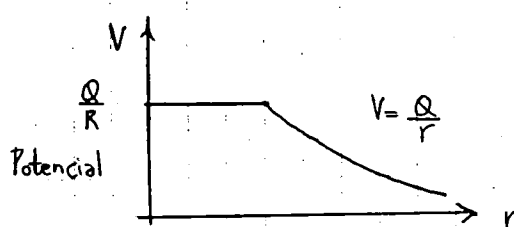
$$\oint_{\Sigma_2} \vec{E} \cdot d\vec{S} = 0 \rightarrow \vec{E} = 0 \quad (r < R)$$



$$\text{iv) } V(r) = \frac{Q}{r} \quad r > R$$

$$V(r) = (\text{cte}) \quad r < R$$

$$\downarrow \text{tomo} \quad V(r=R) = \text{cte} = \frac{Q}{R}$$



* c

$$\text{i) } P = \begin{cases} 0 & r > R \\ f(r) & r < R \end{cases}$$

ii) Como la P es radial a un r_0 fijo cualquiera, se tiene una configuración de

carga totalmente simétrica

Simetría de rotación en φ, θ
Simetría de reflexión en XY, YZ, XZ

$$\vec{E} = E(r) \hat{r}$$

iii)

$$\oint \vec{E} \cdot d\vec{S} = 4\pi Q \rightarrow$$

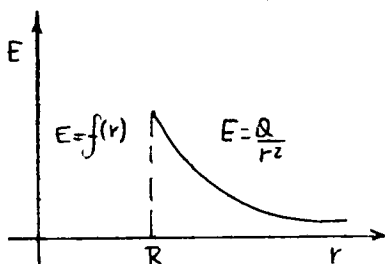
$$\vec{E} = \frac{Q}{r^2} \hat{r}$$

$$f(R) = \frac{Q}{\frac{4\pi}{3} R^3}$$

$$\oint \vec{E} \cdot d\vec{S} = 4\pi f(r) \cdot \frac{4\pi}{3} r^3$$

$$E = f(r) \cdot \frac{4\pi}{3} r \rightarrow$$

$$\vec{E} = \frac{f(r)}{f(R)} \cdot \frac{Q}{R^3} r \hat{r} \quad r < R$$

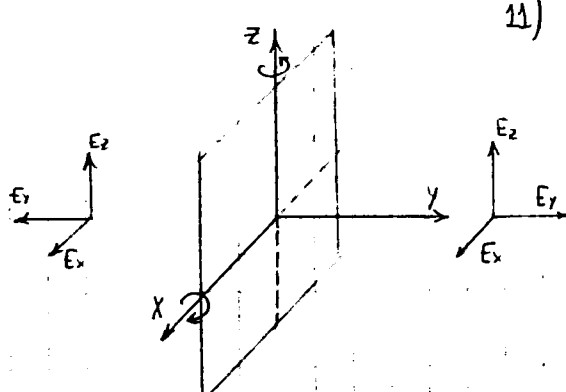


$$V(r) = \frac{Q}{r} \quad r > R$$

* d

$$i) P = \begin{cases} \delta(y-0) \cdot \sigma & y=0 \\ 0 & y \neq 0 \end{cases}$$

ii)



Simetría reflexión en ZX, XY, ZY
Simetría de traslación en X, Z

Simetría de rotación en π

reflexión del vector \vec{E}

$$\left. \begin{array}{l} E'_x = E_x = -E_x \\ E'_y = -E_y = -E_y \\ E'_z = E_z = E_z \end{array} \right\} \xrightarrow{\text{rotación en } \pi \text{ entorno a } \hat{z}}$$

$$\rightarrow E_x = 0$$

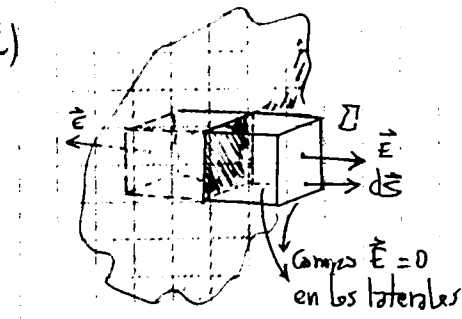
$$\left. \begin{array}{l} E'_x = E_x = E_x \\ E'_y = -E_y = -E_y \\ E'_z = E_z = -E_z \end{array} \right\} \xrightarrow{\text{rotación en } \pi \text{ entorno a } \hat{x}}$$

$$\rightarrow E_z = 0$$

A y0 fijo no depende de x, z por la infinitud; en cualquier x, z que me sitúe tengo un plano cada lado \Rightarrow la situación física es la misma \Rightarrow No puede depender de x, z

$$\vec{E} = E(y) \hat{y}$$

111)

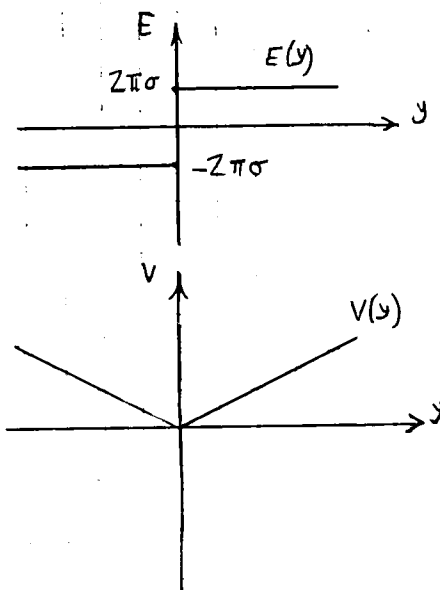


$$\oint \vec{E} \cdot d\vec{S} = 4\pi Q$$

$$2E \cdot A = 4\pi \sigma \cdot A \quad \therefore$$

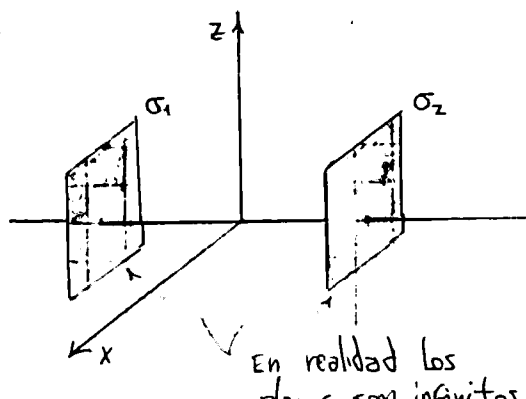
$$\vec{E} = 2\pi \sigma \hat{j} \quad y > 0$$

$$\vec{E} = -2\pi \sigma \hat{j} \quad y < 0$$



$$V = \begin{cases} 2\pi\sigma \cdot y & y > 0 \\ -2\pi\sigma \cdot y & y < 0 \end{cases}$$

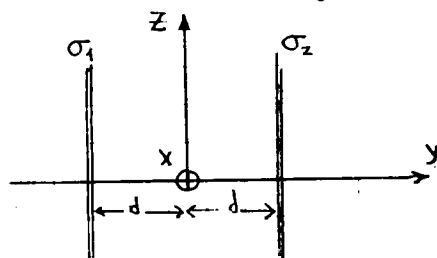
* e



i)

$$\rho = \begin{cases} 0 & |y| \neq d \\ \delta(y-d)\sigma & y = d \\ \delta(y+d)\sigma & y = -d \end{cases}$$

Simetria de trastación en x, z
Simetria de reflexión en xy, zy



ii)

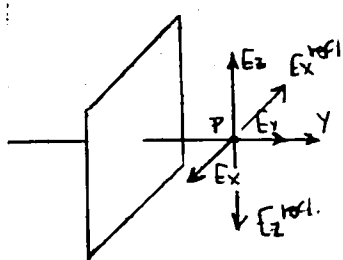
$\vec{E} = \vec{E}(y)$ (no depende de x, z)
por la infinitud
de los planos
en x, z

$$\begin{aligned} \text{reflexión en } XY \\ \vec{E}'_x = \vec{E}_x = \vec{E}_x \\ \vec{E}'_y = \vec{E}_y = \vec{E}_y \\ \vec{E}'_z = -\vec{E}_z = \vec{E}_z \end{aligned} \rightarrow E_z = 0$$

Punto P ubicado en el
plano de reflexión

$$\begin{aligned} \vec{E}'_x = -\vec{E}_x = \vec{E}_x \rightarrow \vec{E}_x = 0 \\ \vec{E}'_y = \vec{E}_y = \vec{E}_y \\ \vec{E}'_z = \vec{E}_z = \vec{E}_z \end{aligned}$$

Punto P ubicado en el
plano de reflexión

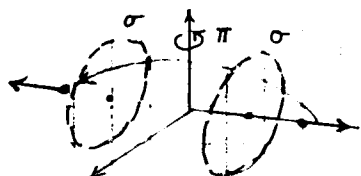


$$\vec{E} = E(y) \hat{j}$$

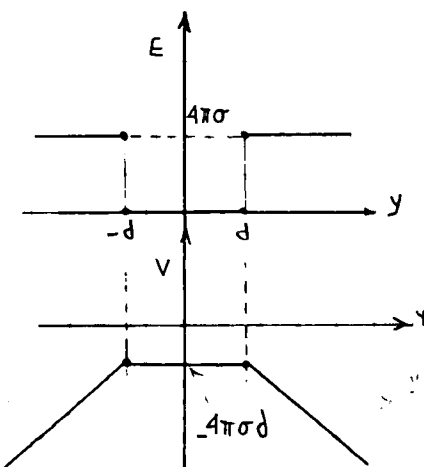
NOTA

En realidad, dada la infinitud en X y en Z podemos girar en cualquier ángulo, según la flecha circular. Luego no puede haber componentes en $Z, X \Rightarrow E_Z = 0, E_X = 0$

$$\sigma_1 = \sigma_z \quad \text{rotación en } \pi \text{ deja todo igual}$$



$$\sigma_1 = \sigma_z$$

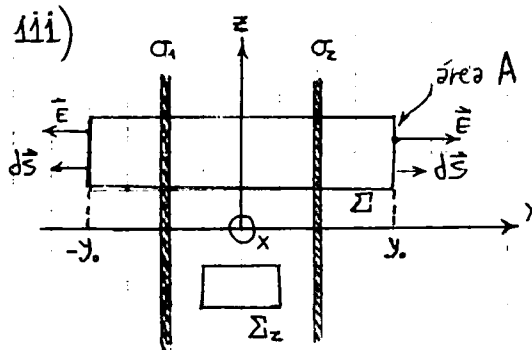
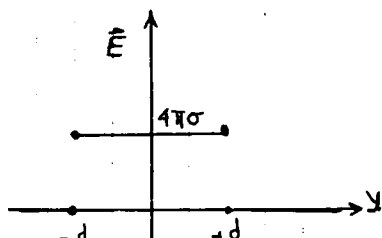


Superponiendo dos planos infinitos como en el caso *d

$$\vec{E}^1 = \begin{cases} 2\pi\sigma & y > -d \\ -2\pi\sigma & y < -d \end{cases}$$

$$\vec{E}^2 = \begin{cases} -2\pi\sigma & y > d \\ +2\pi\sigma & y < d \end{cases}$$

$$\vec{E} = \vec{E}^1 + \vec{E}^2 \rightarrow$$



Considera: $\sigma_1 = \sigma_2$

Por reflexión de E se que E_y apunta hacia afuera delos planos $\Rightarrow E(y_0) \text{ y } E(-y_0)$ apuntan hacia afuera

$$\int_{\Sigma} \vec{E} \cdot d\vec{s} = 4\pi Q$$

$$2E \cdot A = 4\pi \sigma \cdot 2A \quad E = 4\pi \sigma \rightarrow$$

$$\vec{E} = 4\pi \sigma \hat{y} \quad y > d$$

$$\int_{\Sigma} \vec{E} \cdot d\vec{s} = 0$$

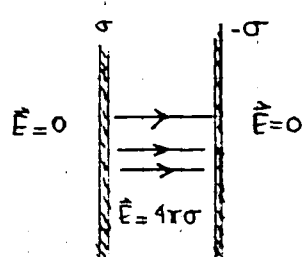
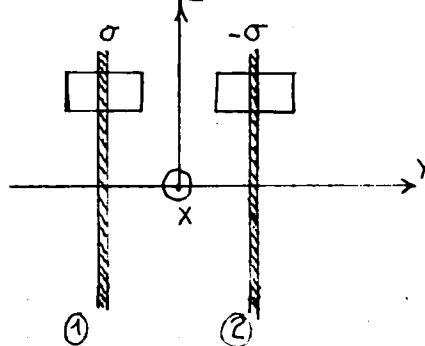
$$E \cdot 2A = 0 \rightarrow$$

$$\vec{E} = -4\pi \sigma \hat{y} \quad y < d$$

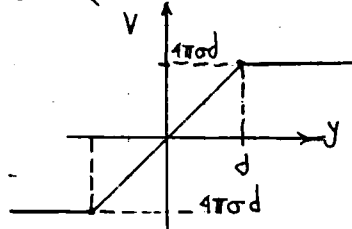
$$|y| < d$$

$V = -4\pi\sigma y$	$y > d$
$V = 4\pi\sigma y$	$y < -d$
$V = -4\pi\sigma d$	$ y < d$

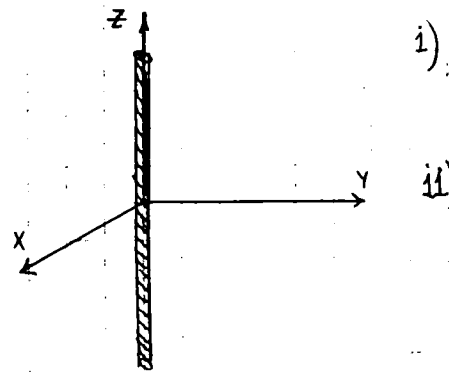
Considero $\sigma_1 = -\sigma_2 \rightarrow \begin{cases} \sigma_1 = \sigma \\ \sigma_2 = -\sigma \end{cases}$



$$\vec{E} = \begin{cases} 0 & -2\pi\sigma < y < 2\pi\sigma \\ 4\pi\sigma & 2\pi\sigma < y < -2\pi\sigma \\ 0 & 2\pi\sigma < y < d \\ 4\pi\sigma & y > d \end{cases}$$



* f



i)

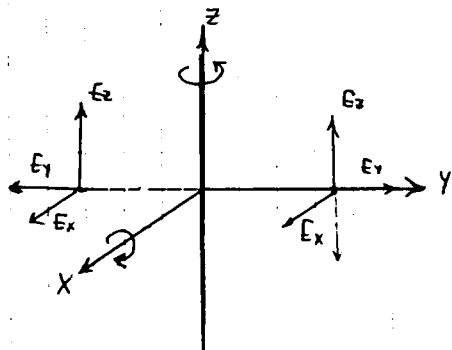
$$\rho = \begin{cases} 0 & z \neq 0 \\ \delta(x-0) \cdot \delta(y-0) \cdot \lambda & \end{cases}$$

ii)

Simetría de rotación en φ

Simetría de traslación en z

Simetría de reflexión en XY, XZ, YZ



reflexión en ZX

$$\begin{aligned} E'_r &= E_r = E_r \\ E'_{\varphi} &= -E_{\varphi} = E_{\varphi} \\ E'_{z'} &= \underbrace{E_z}_{\text{rotación de } \pi \text{ en } \hat{z}} = E_z \end{aligned}$$

rotación de π en \hat{z}

reflexión en XY

$$\begin{aligned} E_r &= E_r \\ -E_z &= E_z \\ E_{\varphi} &= E_{\varphi} \end{aligned}$$

rotación de π en \hat{z}

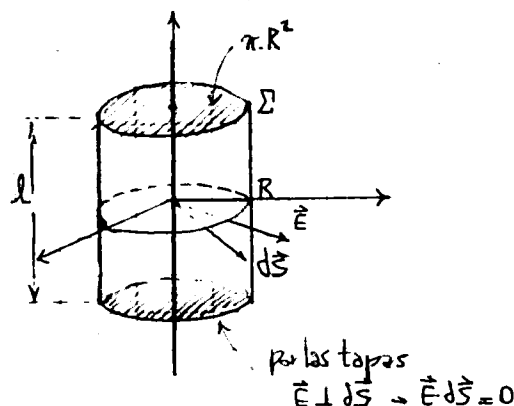
$$E_{\varphi} = 0 \quad E_z = 0$$

Por la traslación en \hat{z} no puede depender de z

Por la rotación en $\hat{\varphi}$ no puede depender de φ

$$\vec{E} = E(r) \hat{r}$$

iii)



$$\oint_{\Sigma} \vec{E} \cdot d\vec{s} = 4\pi \cdot l \cdot \lambda$$

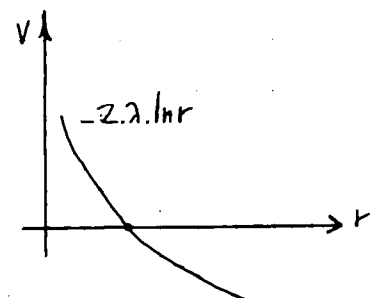
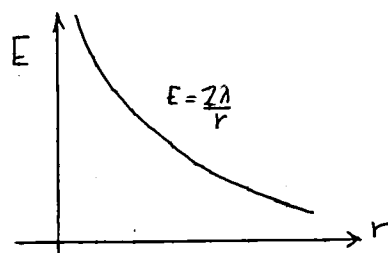
$$E \cdot 2\pi R \cdot l = 4\pi \cdot l \cdot \lambda$$

$$E = \frac{2\lambda}{R}$$

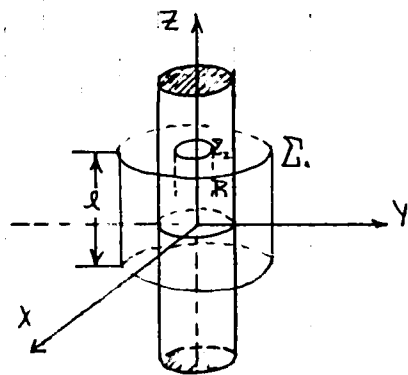
$$\vec{E} = \frac{2\lambda}{r} \hat{r}$$

IV)

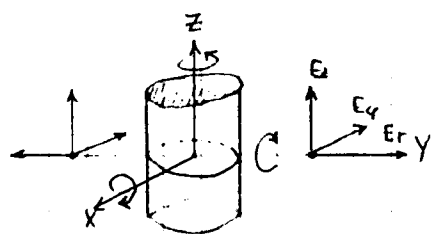
$$V = -2\lambda \ln r$$



* P



Σ_1 : sup. gaussiana exterior
 Σ_2 : sup. gaussiana interior



La rotación en φ garantiza $\vec{E} \neq \vec{E}(\varphi)$
 La trastación en z garantiza $\vec{E} \neq \vec{E}(z)$

i)

$$P = \begin{cases} 0 & r > R \\ p_0 & r \leq R \end{cases}$$

ii) Simetría de rotación en φ
 Simetría de traslación en z
 Simetría de reflexión en XY, YZ, ZX

reflexión en ZX

$$\begin{aligned} E'_r &= E_r = E_r \\ E'_\varphi &= -E_\varphi = E_\varphi \\ E'_z &= \underbrace{E_z = E_z}_{\text{rotación de } \pi \text{ en } z} \end{aligned}$$

reflexión en ZX

$$\begin{aligned} E_r &= E_r \\ -E_\varphi &= E_\varphi \\ E_z &= -E_z \end{aligned}$$

↑ rotación de π en x

$$E_\varphi = 0 \quad E_z = 0$$

$$\vec{E} = E(r) \hat{r} \quad (\text{F de cilíndricas})$$

iii)

$$\oint_{\Sigma_1} \vec{E} \cdot d\vec{S} = 4\pi Q$$

$$\text{solo sup. lateral} \quad E \cdot 2\pi R \cdot r = 4\pi p_0 \cdot \pi R^2 Q$$

$$E = \frac{2p_0 \pi R^2}{r} \rightarrow \boxed{\vec{E} = \frac{2\pi R^2 p_0}{r} \hat{r}} \quad r > R$$

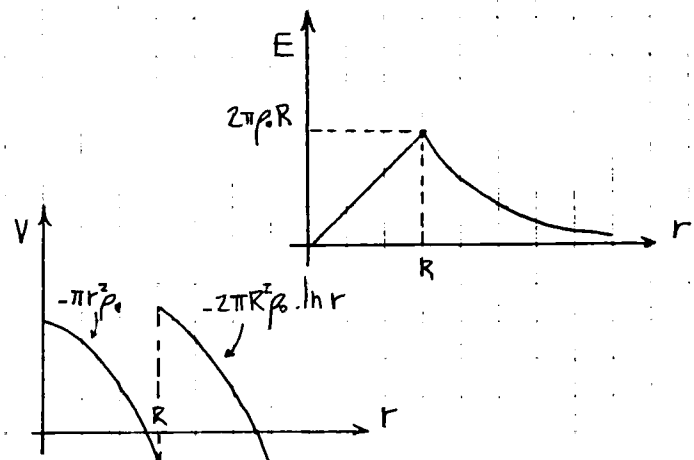
$$\oint_{\Sigma_2} \vec{E} \cdot d\vec{S} = 4\pi Q$$

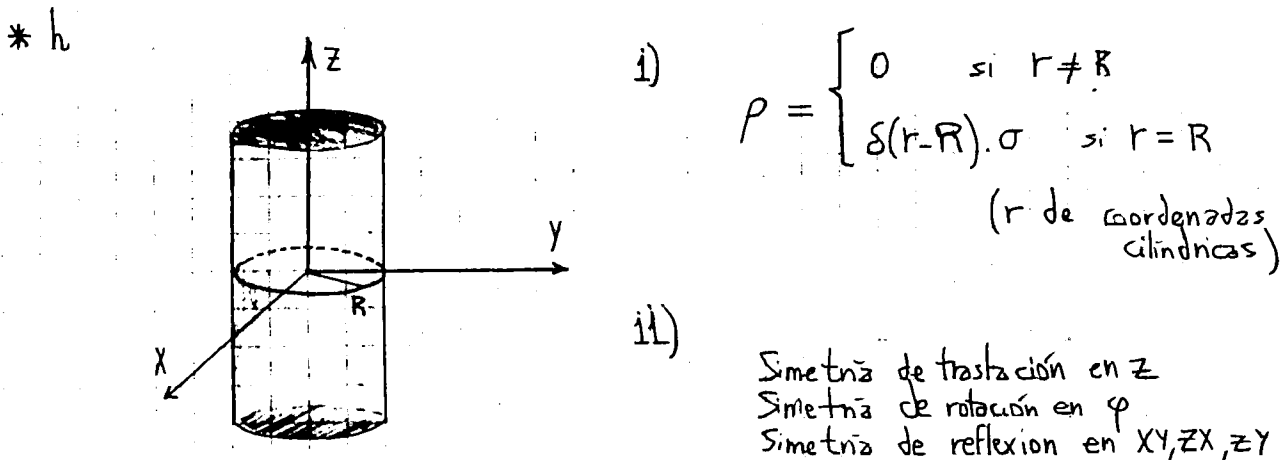
$$E \cdot 2\pi R \cdot r = 4\pi p_0 \cdot \pi r^2 Q$$

$$E = 2\pi p_0 r \rightarrow \boxed{\vec{E} = 2\pi r p_0 \hat{r}} \quad r < R$$

iv)

$$V = \begin{cases} -ln r \cdot 2\pi R^2 p_0 & r > R \\ -\pi r^2 p_0 & r < R \end{cases}$$





Procediendo en forma análoga al *g se tiene: $\vec{E} = E(r) \hat{r}$

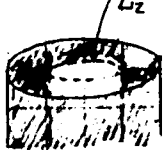
iii)

$$\oint_{\Sigma_1} \vec{E} \cdot d\vec{s} = 4\pi \cdot \sigma \cdot 2\pi R \cdot l$$

$$E \cdot 2\pi l r = 4\pi \sigma R l$$

$$E = \frac{4\pi \sigma R}{r}$$

$$\boxed{\vec{E} = 4\pi \sigma \frac{R}{r} \hat{r}} \quad r > R$$



$$\oint_{\Sigma_2} \vec{E} \cdot d\vec{s} = 0$$

$$E \cdot 2\pi l r = 0$$

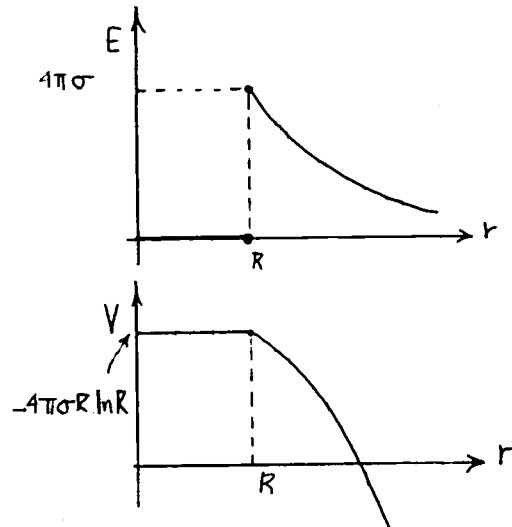
$$\boxed{\vec{E} = 0} \quad r < R$$

iv)

$$\boxed{V = -4\pi \sigma R \ln r \quad r > R}$$

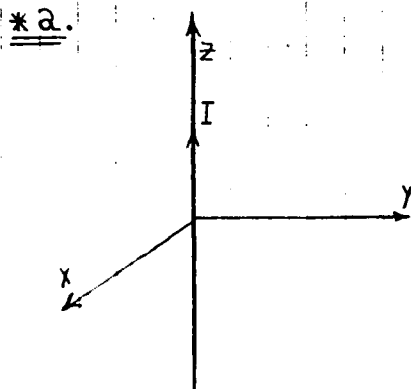
$$\boxed{V = \text{cte.} \quad \text{si } r < R}$$

podemos tomar $-4\pi \sigma R \ln R$



2.

*a.



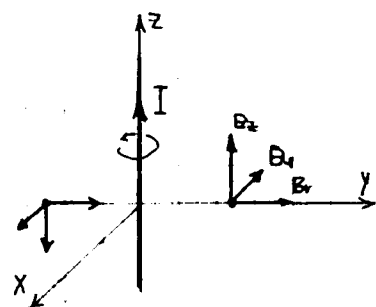
i)

$$\vec{j}(\vec{r}) = I \cdot \delta(x) \cdot \delta(y) \cdot \hat{z}$$

$$I = \int \int g \cdot \delta(x) \delta(y) \cdot dx \cdot dy = g$$

ii)

Simetría de rotación en φ
 Simetría de traslación en \vec{z}
 Simetría de reflexión en \vec{zx}, \vec{zy}

reflexión en \vec{zy}

$$\begin{aligned} B_r &= -B_r = B_r \\ B_\varphi &= B_\varphi = B_\varphi \\ B_z &= -B_z = B_z \end{aligned}$$

$$B_r = 0 \\ B_z = 0$$

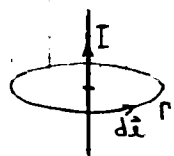
Rotación en $\frac{\pi}{2}$ de π

$$\vec{B} = B(r) \hat{\varphi}$$

(r de
coordenadas
cylindricas)

iii)

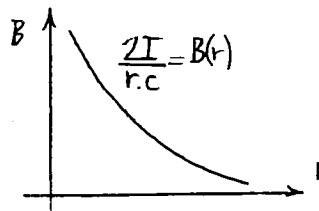
$$\oint_C \vec{B} \cdot d\vec{l} = \frac{4\pi I}{C}$$



$$B \cdot 2\pi r = \frac{4\pi I}{C}$$

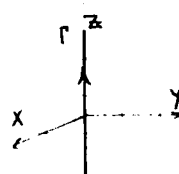
→

$$\vec{B} = \frac{2I}{rC} \hat{\varphi}$$



iv)

$$\vec{A} = \frac{1}{C} \int \frac{I \cdot d\vec{l}'}{|F \cdot F'|}$$

$$|(x, y, z) - (0, 0, z')|$$


$$\vec{A} = \frac{1}{C} \int \frac{I \cdot dz' \hat{z}'}{\sqrt{x^2 + y^2 + (z - z')^2}}$$

$$\vec{A} = \frac{1}{C} \cdot I \hat{z} \cdot \int_{z-A}^{z} \frac{dz'}{\sqrt{x^2 + y^2 + (z - z')^2}}$$

$$\vec{A} = \frac{I \hat{z}}{C} \int_{z-A}^{z} \frac{-du}{\sqrt{x^2 + y^2 + u^2}}$$

$$z - z' = u$$

$$-dz' = du$$

$$\ln |u + \sqrt{x^2 + y^2 + u^2}|$$

$$\vec{B} = \vec{\nabla} \times \vec{A} \Rightarrow$$
 en cilíndricas es:

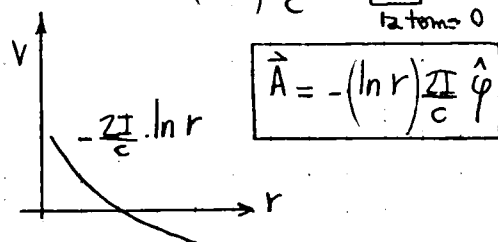
$$\frac{2I}{Cr} = \frac{\partial (Ar)}{\partial z} - \frac{\partial Az}{\partial r}$$

$$= 0 \text{ pues } A \neq A(z) \Rightarrow$$

$$Az = \int -\frac{2I}{Cr} dr$$

$$Az = -\left(\ln r\right) \frac{2I}{C} + Cte.$$

[a veces 0]

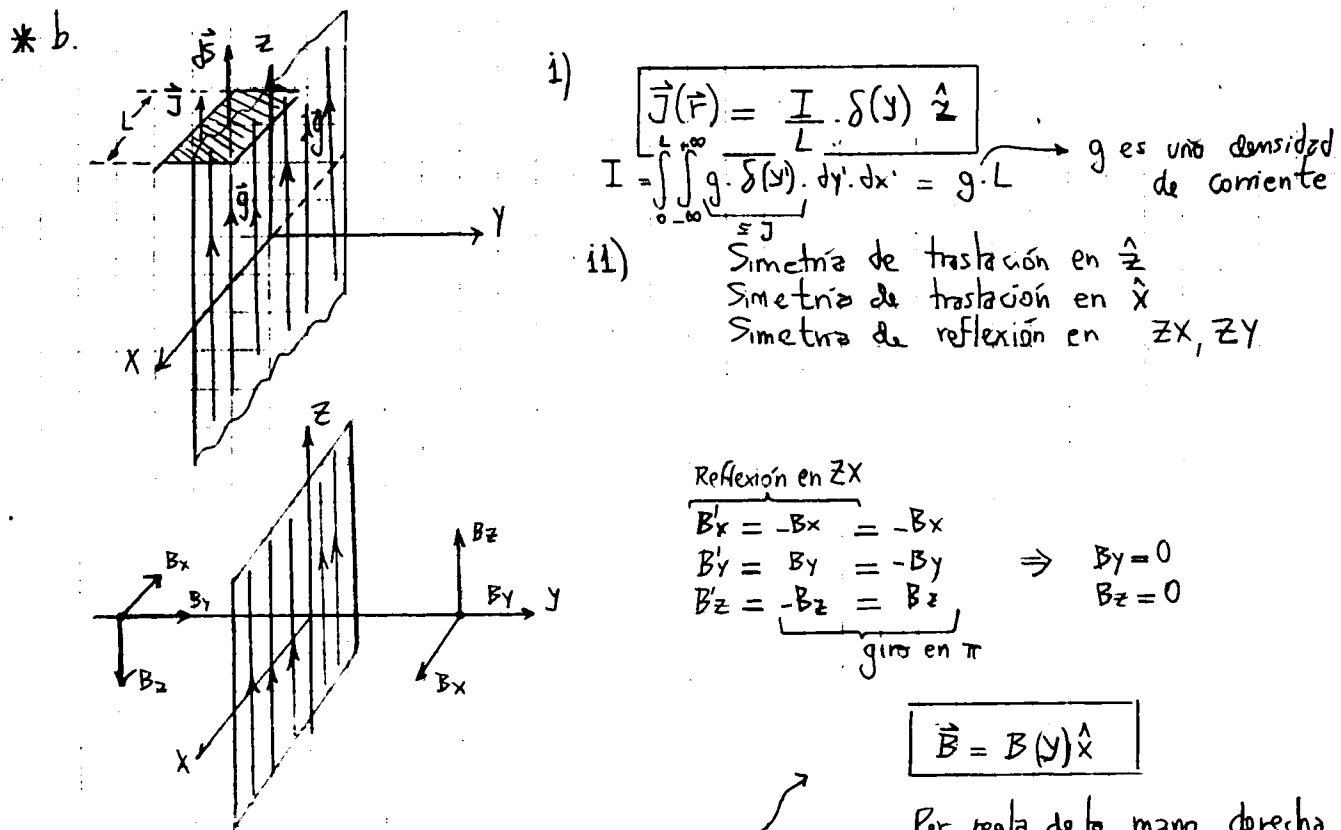


$$\vec{A} = -\left(\ln r\right) \frac{2I}{C} \hat{\varphi}$$

En potenciales debidos a distribuciones no finitas la integral diverge [en realidad no hay distribución ∞] \Rightarrow hay que usar otro método

$$\lim_{A \rightarrow \infty} \frac{\ln \left(\frac{(z-A) + \sqrt{x^2 + y^2 + (z-A)^2}}{(z-A) - \sqrt{x^2 + y^2 + (z-A)^2}} \right)}{(z-A)}$$

$$\lim_{A \rightarrow \infty} \frac{\ln \left(\frac{(z-A) \left(1 + \sqrt{\frac{x^2}{(z-A)^2} + \frac{y^2}{(z-A)^2} + 1} \right)}{(z-A) \left(1 + \sqrt{\frac{x^2}{(z-A)^2} + \frac{y^2}{(z-A)^2} + 1} \right)} \right)}{(z-A)}$$



Por la traslación en \hat{z} y en \hat{x} $\Rightarrow \vec{B} \neq \vec{B}(z, x)$

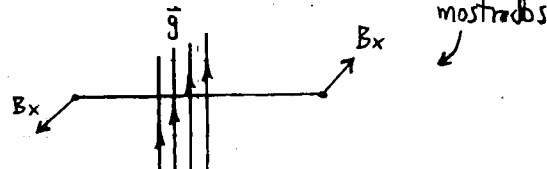
Reflexión en ZX

$$\begin{aligned} B'_x &= -B_x &= -B_x \\ B'_y &= B_y &= -B_y \\ B'_z &= -B_z &= B_z \end{aligned} \Rightarrow \begin{aligned} B_y &= 0 \\ B_z &= 0 \end{aligned}$$

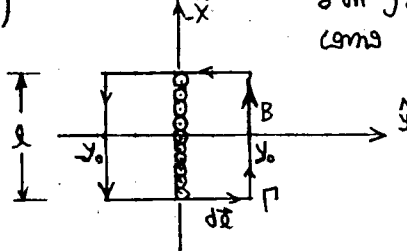
giro en π

$$\vec{B} = B(y) \hat{x}$$

Por regla de la mano derecha
será con los sentidos aquí
mostrados



iii) a un y_0 fijo el campo \vec{B} es constante entonces puede tomar r como circuito para la Ley de Ampere.



$$\oint \vec{B} \cdot d\vec{l} = \frac{4\pi}{c} I_c$$

$$2B \cdot l = \frac{4\pi}{c} \cdot g \cdot l \rightarrow B = \frac{2\pi g}{c}$$

$$I_c = \int \vec{J} \cdot d\vec{s}$$

$$\vec{g} \cdot \underbrace{\delta(y)}_{d\vec{s}} dx dy$$

$$I_c = \int g \cdot \delta(y) \cdot dx \cdot dy$$

$$\vec{B} = -\frac{2\pi g}{c} \hat{x} \quad y > 0$$

$$\vec{B} = \frac{2\pi g}{c} \hat{x} \quad y < 0$$

$$I_c = g \cdot l$$

iv) $\vec{A} = \frac{1}{c} \int \frac{I \cdot d\vec{e}}{|\vec{r} - \vec{r}'|}, \vec{A} = \frac{1}{c} \int \frac{\vec{J} \cdot d\vec{s}}{|\vec{r} - \vec{r}'|}$

$$\frac{1}{c} \iint \int g \cdot \delta(y) \cdot dx \cdot dy \cdot dz$$

■ Otra vez la integral que diverge

$$\vec{B} = \vec{\nabla} \times \vec{A} \quad \text{sea } y > 0 \rightarrow$$

$$\vec{x}) - \frac{2\pi}{c} g = \frac{\partial}{\partial y} A_z - \frac{\partial}{\partial z} A_y$$

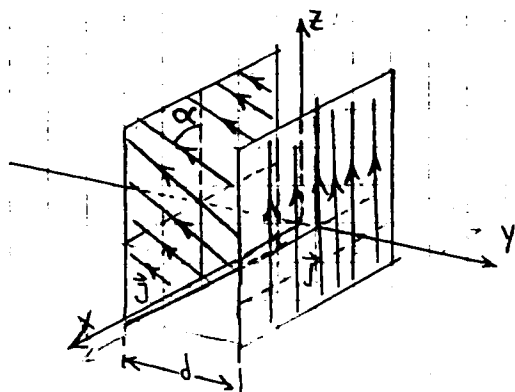
$$y > 0 \quad A_z = -\frac{2\pi}{c} g y$$

las otras componentes

$$0 = \frac{\partial A_x}{\partial z} - \frac{\partial A_z}{\partial x}$$

$$0 = \frac{\partial A_y}{\partial x} - \frac{\partial A_x}{\partial y}$$

*C

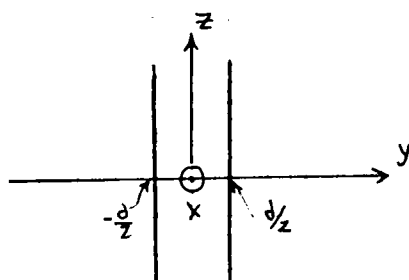


$$i) \vec{j}(r) = \begin{cases} g\hat{z} & \\ \vec{g} \cdot \delta(y - \frac{d}{2}) & \text{si } y > 0 \\ \vec{g} \cdot \delta(y + \frac{d}{2}) & \text{si } y < 0 \\ g \cos \alpha \hat{z} + g \sin \alpha \hat{x} & \end{cases}$$

ii)

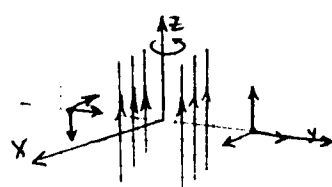
Simetría de traslación en \hat{z}, \hat{x}

$$\vec{B} \neq \vec{B}(x, z) \Rightarrow \vec{B} = \vec{B}(y)$$



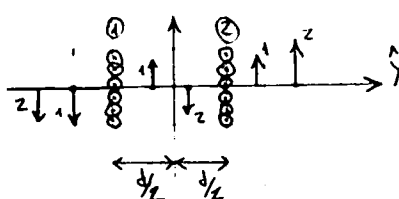
• CASO $\alpha = 0$

Simetría reflexión en ZX, ZY



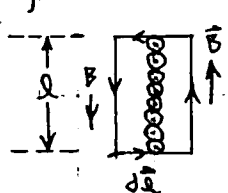
$$\begin{aligned} \text{reflexión } ZX \\ B'_x &= -B_x = -B_x \\ B'_y &= B_y = -B_y \\ B'_z &= -B_z = B_z \\ &\text{Giro } \pi \text{ en } \hat{z} \\ B_y &= 0, B_z = 0 \end{aligned}$$

$$\boxed{\vec{B} = B(y) \hat{x}} \text{ y para mano derecha será:}$$



Adentro se cancela por superposición

iii)



$$\oint \vec{B} \cdot d\vec{r} = \frac{4\pi}{c} \int g \cdot \delta(y + \frac{d}{2}) \cdot dx \cdot dy$$

$$B \cdot 2d = \frac{4\pi}{c} g \cdot d$$

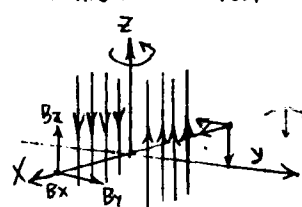
$$B = \frac{2\pi g}{c} \quad \rightarrow \quad \vec{B}_1 = \frac{2\pi g}{c} \hat{x} \quad y < -\frac{d}{2}$$

Para la situación de chapa ② el círculo es simili

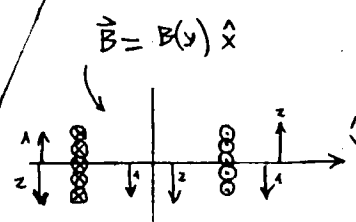
$$\vec{B}_1 = -\frac{2\pi g}{c} \hat{x} \quad y > -\frac{d}{2}$$

• CASO $\alpha = \pi$

Simetría de reflexión en ZY



$$\begin{aligned} \text{Giro } \pi \text{ en } \hat{z} \\ \text{y } \text{Reflexión } (-) \\ B'_x &= B_x = -(B_x) \\ B'_y &= -B_y = -(-B_y) \\ B'_z &= -B_z = -(B_z) \\ &\text{Reflexión en } ZY \\ B_y &= 0, B_z = 0 \end{aligned}$$

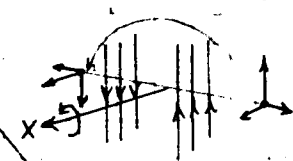


Afuera se cancela por superposición

$$\begin{aligned} \vec{B} &= B(y) \hat{x} \\ &\text{giro en } \pi \text{ en } \hat{x} \\ B_x &= 0 \\ B_y &= 0 \\ B_z &= 0 \end{aligned}$$

▲ Pero esto solo vale para $y = 0$ (en el eje)

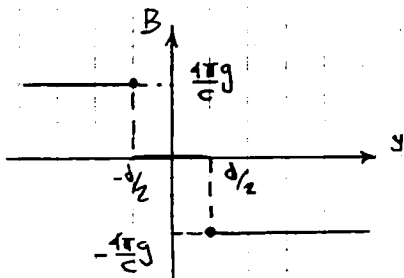
Simetría de rotación en π en torno a \hat{x}



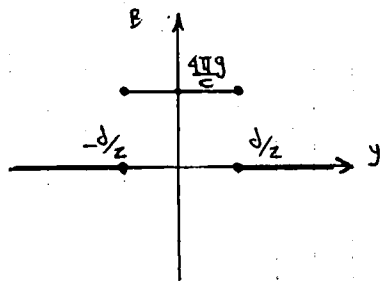
$$\boxed{\vec{B} = B(y) \hat{x}}$$

$$\Rightarrow \vec{B} = \begin{cases} \frac{4\pi}{c} g \hat{x}, & y < -\frac{d}{2} \\ 0, & -\frac{d}{2} < y < \frac{d}{2} \\ -\frac{4\pi}{c} g \hat{x}, & y > \frac{d}{2} \end{cases} \quad (\text{caso } \alpha = 0)$$

• CASO $\alpha = 0$



• CASO $\alpha = \pi$

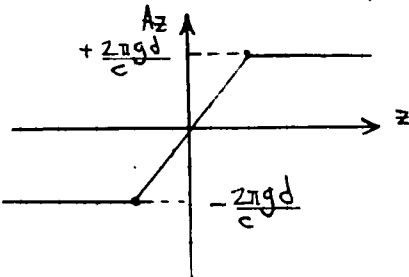
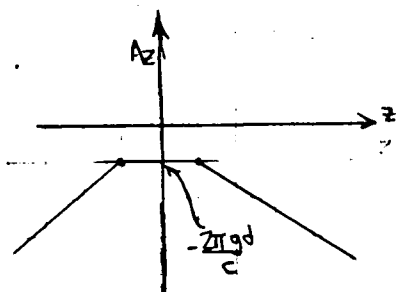


Para $\alpha = \pi$

$$\vec{B} = \begin{cases} 0 & y > d/2 \\ y < -d/2 \\ \frac{4\pi g}{c} \hat{x} & -d/2 < y < d/2 \end{cases}$$

Este se usa el mismo circuito de Ampere que ya utilizamos

iv) el cálculo del potencial \vec{A} puede hacerse en forma similar al punto anterior



$$\vec{A} = -\frac{4\pi g}{c} y \hat{z} \quad y > d/2$$

$$\vec{A} = \frac{4\pi g}{c} y \hat{z} \quad y < -d/2$$

$$\text{i)} \quad \frac{4\pi g}{c} = \frac{\partial(A_z)}{\partial y} - \frac{\partial(A_y)}{\partial z} = 0$$

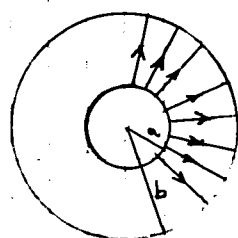
$$A_z = \frac{4\pi g}{c} y$$

$$\vec{A} = -\frac{2\pi g d}{c} \hat{z} \quad \frac{d}{2} < y < d/2$$

$$\vec{A} = 0 \quad y > d/2, y < -d/2$$

$$\vec{A} = \frac{2\pi g d}{c} \hat{z} \quad |y| < d/2$$

* d.

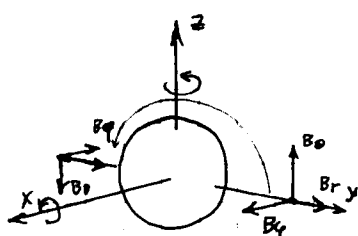


$$\text{i)} \quad \vec{j}(r) = \begin{cases} 0 & r > b, r < a \\ J \hat{r} & a < r < b \end{cases} \quad [\hat{r} \text{ de esféricas}]$$

ii)

Simetría de revolución
(rotación en θ, φ de esféricas)
Reflexión XY, ZX, ZY

\vec{B} no puede depender de θ, φ
 $\rightarrow \vec{B} = \vec{B}(r)$



reflejo en ZY y giro en π
(torno a \hat{z})

$$B_r = -B_r = B_r$$

$$B_\theta = -B_\theta = B_\theta$$

$$B_\varphi = -B_\varphi = -B_\varphi$$

$$B_r = 0, B_\theta = 0$$

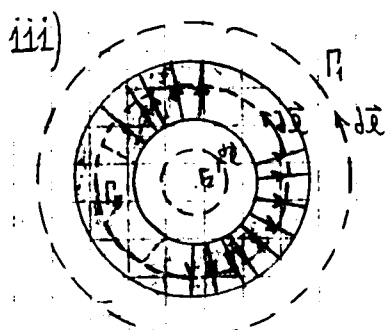
síntesis en π en torno a \hat{x} -

$$B'_r = -B_r = B_r$$

$$B'_\theta = -B_\theta = -B_\theta$$

$$B'_\varphi = -B_\varphi = B_\varphi$$

$$B_\varphi = 0$$

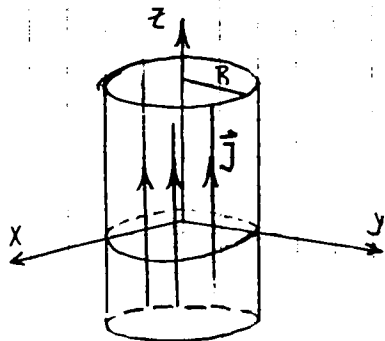


$\vec{B} = 0$ fuera
 $\vec{B} = 0$ dentro
porque no hay
dirección privilegiada
dentro de la zona
esférica de los contenidos
sobre \hat{r} y no puede ir
en \hat{r} el \vec{B}

$$\therefore \vec{B} = 0$$

frente de la
esfera "b"
o en el interior
de la esfera "a"

* e



i)

$$\vec{j}(r) = \begin{cases} 0 & r > R \\ \vec{j} & r < R \end{cases}$$

$\vec{j} \hat{z}$

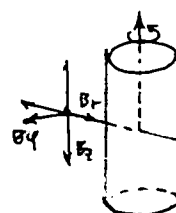
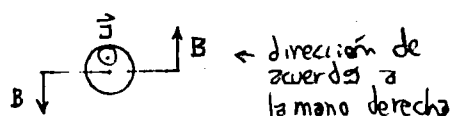
[r de cilíndricas]

ii)

Simetría de rotación en \hat{z} (ϕ)
Simetría de traslación en \hat{z}
Simetría de reflexión en \hat{x}, \hat{y}

traslación en \hat{z}
rotación en $\hat{\phi}$ $\rightarrow \vec{B} = \vec{B}(r)$

$$\vec{B} = B(r) \hat{\phi}$$



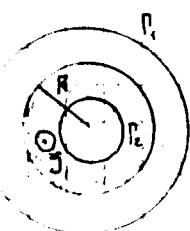
reflexión \hat{x}

$$\begin{aligned} B_r &= -B_r = B_r \\ B_\phi &= B_\phi = B_\phi \\ B_z &= -B_z = B_z \end{aligned}$$

rotación en $\hat{\phi}$ en \hat{z}

$$\begin{cases} B_z = 0 \\ B_r = 0 \end{cases}$$

iii)



$$\int_R^{\infty} \vec{B} \cdot d\vec{Q} = \frac{4\pi}{c} (J \pi R^2)$$

$$B \cdot 2\pi r \cdot r = \frac{4\pi J R^2}{c} \rightarrow$$

$$\vec{B} = \frac{2\pi R^2 J}{c} \frac{1}{r} \hat{\phi}$$

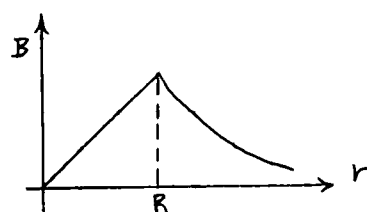
$r > R$

$$\int_{R_2}^{R_1} \vec{B} \cdot d\vec{Q} = \frac{4\pi}{c} J \pi r^2$$

$$B \cdot 2\pi r \cdot r = \frac{4\pi J r^2}{c} \rightarrow$$

$$\vec{B} = \frac{2\pi r J}{c} \hat{\phi}$$

$r < R$



iv)

$r > R$

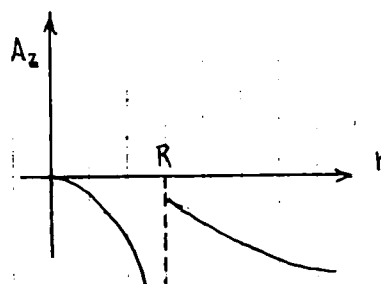
$$\hat{\phi}] \frac{2\pi R^2 J}{c} \frac{1}{r} = \frac{\partial A_r}{\partial z} - \frac{\partial A_z}{\partial r}$$

$$A_z = -\frac{2\pi R^2 J}{c} \ln r$$

$r < R$

$$\hat{\phi}] \frac{2\pi r J}{c} = \frac{\partial A_r}{\partial z} - \frac{\partial A_z}{\partial r}$$

$$A_z = -\frac{2\pi J r^2}{c}$$

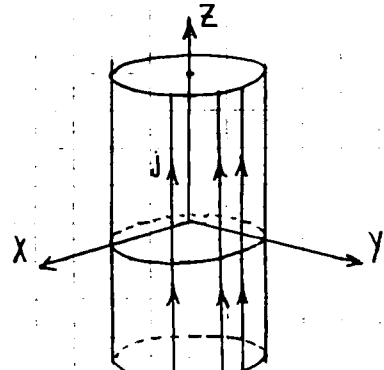


A_z podría empalmar con una constante dada

$$r > R \rightarrow \vec{A} = -\frac{2\pi R^2 J}{c} \ln r \hat{z}$$

$$r < R \rightarrow \vec{A} = -\frac{2\pi J r^2}{c} \hat{z}$$

* f.



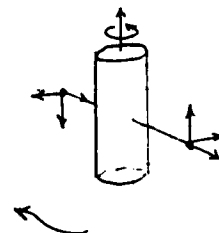
$$\boxed{\vec{B} = B(r) \hat{\phi}}$$

i) $J(F) = \vec{g} \cdot \delta(r-R) = g \cdot \delta(r-R) \hat{z}$

ii) Simetría rotación (φ)
Simetría traslación en \hat{z}
Reflexión en $\hat{z}, \hat{x}, \hat{y}$

Por rotación y traslación es

$$\vec{B} = \vec{B}(r) \rightarrow$$



reflexión rotación en π

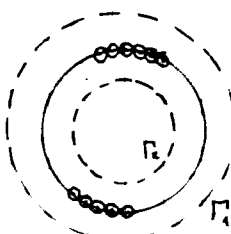
$$B_r' = -B_r = B_r$$

$$B_\varphi' = B_\varphi = B_\varphi$$

$$B_z' = -B_z = B_z$$

$$\therefore B_z = 0, B_r = 0$$

iii)

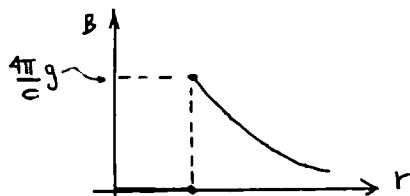


$$\oint \vec{B} \cdot d\vec{l} = 0 \rightarrow \boxed{\vec{B} = 0} \quad r < R$$

$$\oint_{R_1} \vec{B} \cdot d\vec{l} = \frac{4\pi}{C} \cdot I_c = \frac{4\pi}{C} \cdot \iint_0^R g \cdot \delta(r-R) \cdot dr \cdot d\varphi \cdot R$$

$$B \cdot 2\pi r = \frac{4\pi}{C} \cdot 2\pi g R \quad r > R$$

$$B = \frac{4\pi g R}{C} \cdot \frac{1}{r} \hat{\phi} \quad \boxed{\vec{B} = \frac{4\pi g R}{C} \cdot \frac{1}{r} \hat{\phi}}$$



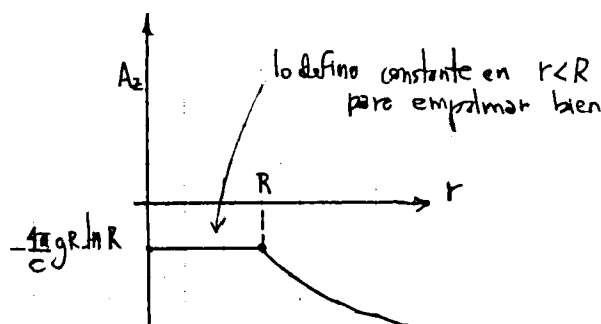
iv) Partiendo de $\vec{B} = \vec{\nabla} \times \vec{A}$

$$\hat{\phi} \quad \frac{4\pi g R}{C} \frac{1}{r} = \left[\frac{\partial A_r}{\partial z} - \frac{\partial A_z}{\partial r} \right]_{=0}$$

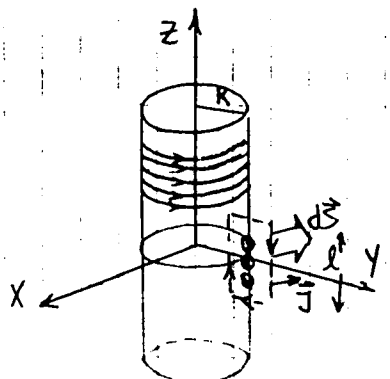
$$A_z = -\frac{4\pi g R}{C} \int \frac{1}{r} dr$$

$$A_z = -\frac{4\pi g R}{C} \ln r / R$$

$$\boxed{\vec{A} = -\frac{4\pi g R}{C} \ln r \hat{z}}$$



* 5.



n vueltas por longitud

$$I_n \cdot l = \int_{-\frac{R}{2}}^{\frac{R}{2}} \int_{-L}^{+L} g \cdot \delta(y-R) \cdot dy \cdot dz \quad I_n R = g \cdot l$$

$$\vec{B} = B(r) \hat{z}$$

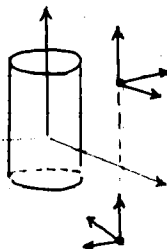
i)

$$\vec{j}(r) = I_n \cdot \delta(r-R) \hat{z}$$

ii)

Simetría de rotación (ϕ)
Simetría de traslación en \hat{z}
Simetría de reflexión en XY

$$\vec{B} = \vec{B}(r)$$

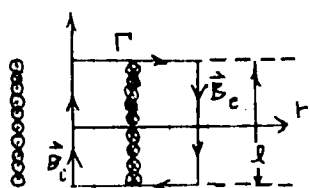


$$\begin{cases} B_r = -B_r = B_r \\ B_\phi = -B_\phi = B_\phi \\ B_z = B_z = B_z \end{cases}$$

traslación en \hat{z}

$$B_r = 0, B_\phi = 0$$

iii)

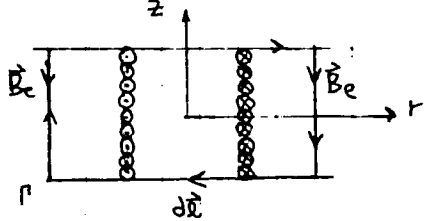


$$n = \frac{N}{L}$$



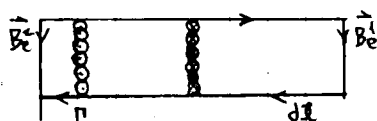
$$\oint \vec{B} \cdot d\vec{l} = \frac{4\pi}{C} i \cdot n \cdot l$$

$$B_i \cdot l - B_e \cdot l = \frac{4\pi}{C} i \cdot n \cdot l$$



$$\oint \vec{B} \cdot d\vec{l} = 0$$

La corriente entrante es igual a la saliente $\Rightarrow I_c$ neta es nula
 $B_e \cdot l - B_e \cdot l = 0 \rightarrow$ Este circuito no aporta nada



$$B_e \cdot l = B_e \cdot l$$

$\rightarrow \vec{B}$ afuera es constante (no depende de r)

Hay que calcular B_i local hacemos por integración directa:

$$B_i = \frac{1}{C} \int \frac{\vec{j} \times (\vec{r} - \vec{r}') \cdot d\vec{v}}{|r - r'|^3}$$

$$\vec{r} - \vec{r}' = (0, 0, z) - (R, 0, z') = (-R, 0, z - z')$$

$$B_i (r=2) = \frac{1}{C} \int \cdot \hat{r}$$

$$g \hat{r} \times (-R, 0, z - z') = \begin{vmatrix} \hat{r} & \hat{\phi} & \hat{z} \\ 0 & g & 0 \\ -R & 0 & z - z' \end{vmatrix}$$

$$\frac{1}{C} \iint \frac{I_n (z - z') \hat{r} \cdot R \cdot d\phi \cdot dz'}{(R^2 + (z - z')^2)^{3/2}}$$

$$= g \cdot (z - z') \hat{r} + R g \hat{z}$$

$$+ \frac{1}{C} \iint \frac{R I_n \hat{z} \cdot R d\phi \cdot dz'}{[R^2 + (z - z')^2]^{3/2}}$$

$$R^2 I_n \hat{z} 2\pi \int_a^{+\infty} \frac{dz'}{[R^2 + (z - z')^2]^{1/2}}$$

$$\int_{-\infty}^{+\infty} \frac{dz'}{(R^2 + (z-z')^2)^{1/2}} = - \int_{+\infty}^{-\infty} \frac{du}{(R^2 + u^2)^{1/2}} = \int_{-\infty}^{+\infty} \frac{du}{(R^2 + u^2)^{1/2}} = \frac{U}{R \cdot (R^2 + U^2)^{1/2}} \Big|_{-\infty}^{+\infty}$$

$$z-z' = U$$

$$-dz' \approx du$$

$$\begin{aligned} U \gg R &= \frac{U}{R^2 (R^2 + U^2)^{1/2}} - \frac{-U}{R^2 (R^2 + U^2)^{1/2}} \\ 1 \gg \frac{R}{U} &= \lim_{U \rightarrow \infty} \frac{2U}{R^2 (R^2 + U^2)^{1/2}} \\ &= \lim_{U \rightarrow \infty} \frac{2U}{R^2 + U^2 (1 + \frac{R^2}{U^2})^{1/2}} = \frac{2}{R^2} \end{aligned}$$

$$\Rightarrow \vec{B}_i = \frac{2\pi I_n}{c} \frac{2}{R^2} \hat{z} \rightarrow B_i = \frac{4\pi I_n}{c} \hat{z} \quad \therefore$$

$$B_i \cdot l - B_e \cdot l = \frac{4\pi}{c} I_n l \Rightarrow B_e = \frac{4\pi}{c} I_n l - \frac{4\pi}{c} I_n l = 0 \Rightarrow$$

$$B_e = 0$$

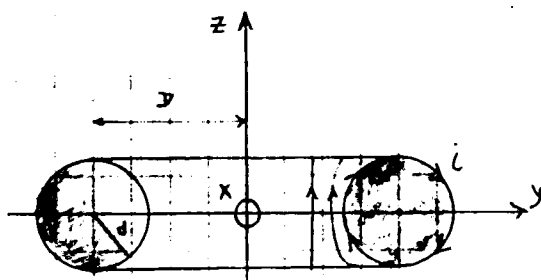
$$\boxed{\vec{B} = \frac{4\pi}{c} I_n \hat{z}}$$

dentro del solenoide

$$\boxed{\vec{B} = 0}$$

frente del solenoide

* h.



Nwetas

$$\text{i)} \quad \vec{j} = g$$

ii) Simetría de rotación en \hat{z} (en φ)
Simetría de reflexión en zy, zx

$$\vec{B} \text{ No depende de } \varphi \Rightarrow \vec{B} = \vec{B}(r, z)$$

referencia

$$B'_r = -B_r = B_r$$

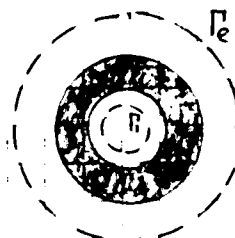
$$B'_\varphi = B_\varphi = B_\varphi$$

$$B'_z = -B_z = B_z$$

giro de π
frente a \hat{z}

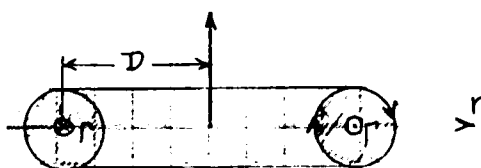
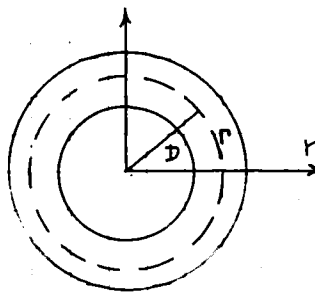
$$\therefore B_r = 0, B_z = 0 \Rightarrow$$

$$\boxed{\vec{B} = B(r, z) \hat{\varphi}}$$



r_e, r_i no conciernen
corrientes \Rightarrow como
 \vec{B} es constante sobre
 $r_e, r_i \Rightarrow \vec{B} = 0$
fuera del toro

iii)



Hago un Ampere en $r, z=0$
 $\rightarrow \vec{B}$ es constante sobre ella

$$\oint \vec{B} d\vec{l} = \frac{4\pi}{c} I \cdot N$$

$$B \cdot 2\pi r = \frac{4\pi i N}{c}$$

$$B = \frac{2iN}{cr}$$

$$\boxed{\vec{B} = \frac{2Ni}{cr} \hat{\phi}}$$

dentro del toro y a $z=0$
 (para para otro z es igual) $\rightarrow \vec{B} \neq \vec{B}(z)$

$$\boxed{\vec{B} = 0}$$

frente del toro

iv)

$$\vec{B} = \vec{\nabla} \times \vec{A}$$

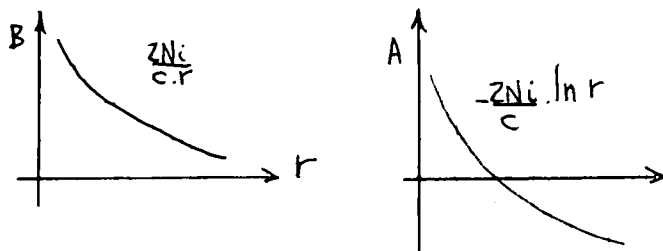
$$\psi) \quad \frac{2Ni}{cr} = \frac{\partial A_r}{\partial z} - \frac{\partial A_z}{\partial r}$$

$$-\frac{2Ni}{cr} = \frac{\partial A_z}{\partial r}$$

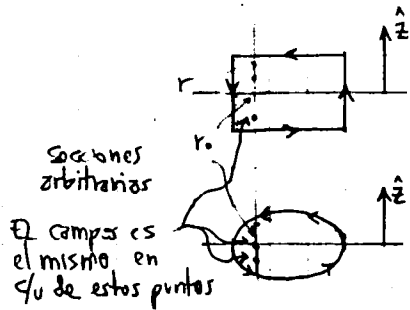
$$\Delta z = -\frac{2Ni}{cr} dr$$

$$A_z = -\frac{2Ni}{c} \ln r$$

$$\boxed{\vec{A} = -\frac{2Ni}{c} \ln r \hat{z}}$$



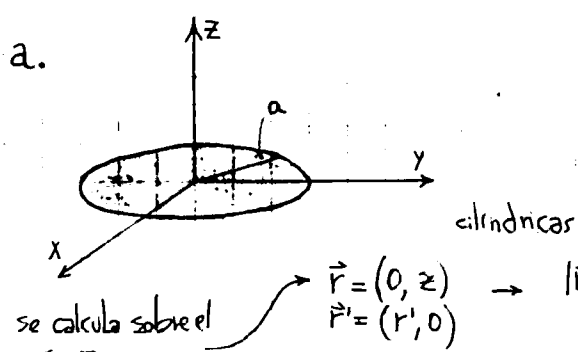
● Toro de sección arbitraria



El campo \vec{B}
 solo depende
 de la distancia
 radial; luego a
 un mismo radio r
 el $|\vec{B}|$ es el mismo
 sin importar la altura (obviamente tenemos que estar situados
 en el interior del toro)

II Integración directa: solución de Poisson

3.



$$\varphi = \int_{\Omega} \frac{\rho(\vec{r}') \cdot d\Omega'}{|\vec{r} - \vec{r}'|}$$

$$\rho(\vec{r}') = \sigma \cdot \delta(z-0) \quad r < a$$

$$\varphi(0, z) = \int_{-\infty}^{+\infty} \int_0^{2\pi} \int_0^a \frac{\sigma \cdot \delta(z) \cdot dr' \cdot r' \cdot d\varphi' \cdot dz'}{(r'^2 + z^2)^{1/2}} = \int_{-\infty}^{+\infty} \int_0^a \frac{2\pi \cdot \sigma \cdot \delta(z) \cdot r' \cdot dr' \cdot dz'}{(r'^2 + z^2)^{1/2}}$$

$$\varphi(0, z) = \pi \cdot \sigma \int_{-\infty}^{+\infty} \delta(z) \cdot dz' \int_{z^2}^{a^2 + z^2} \frac{dr'}{U^{1/2}} = \pi \cdot \sigma \cdot \left. \frac{U^{1/2}}{1/2} \right|_{z^2}^{a^2 + z^2}$$

$$r'^2 + z^2 = U$$

$$2r' dr' = dU$$

$$\boxed{\varphi(0, z) = \pi \cdot \sigma \cdot z \cdot (\sqrt{a^2 + z^2} - \sqrt{z^2})}$$

* Algunos casos límites

$$\text{Sea } z \gg a \rightarrow \frac{z}{a} \gg 1$$

$$\varphi(0, z \gg a) = z \pi \sigma |z| \left[\left(1 + \frac{a}{z}\right)^{1/2} - 1 \right] \\ \approx 2\pi \sigma |z| \left(1 + \frac{1}{2} \frac{a^2}{z^2} - \frac{1}{2} \right)$$

$$\varphi(0, z \gg a) \approx \frac{2\pi \sigma a^2}{2|z|} = \frac{Q}{|z|} \quad \leftarrow \text{Potencial de una carga puntual}$$

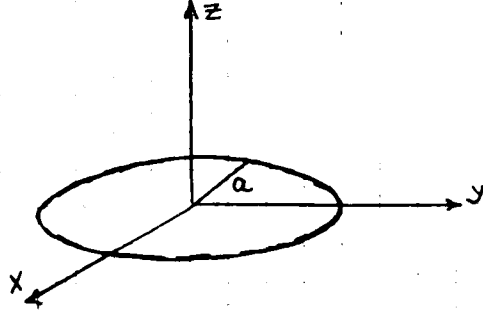
$$\text{Sea } z \ll a \rightarrow \frac{z}{a} \ll 1$$

$$\varphi(0, z \ll a) = 2\pi \sigma \cdot \left[a \left(1 + \frac{z}{a} \right)^{1/2} - |z| \right] \\ = 2\pi \sigma a \left[\left(1 + \left[\frac{z}{a} \right]^2 \right)^{1/2} - \frac{|z|}{a} \right] \\ \approx 2\pi \sigma a \left(1 + \frac{1}{2} \frac{z^2}{a^2} - \frac{z}{a} \right)$$

$$\varphi(0, z \ll a) \approx 2\pi \sigma a - 2\pi \sigma z \quad \leftarrow \text{potencial de un plano infinito (si olvidamos la constante } 2\pi \sigma a \text{)}$$

$$\bar{E}(0, z) = 2\sigma \pi \left(\frac{z}{a^2 + z^2} - \frac{z}{\sqrt{z}} \right)$$

b.



$$\rho(\vec{r}') = \lambda \cdot \delta(r' - a) \cdot \delta(z')$$

$$\vec{r} = (a, z) \\ \vec{r}' = (a, 0)$$

$$\vec{r} - \vec{r}' = (-a, z) \rightarrow |\vec{r} - \vec{r}'| = (a^2 + z^2)$$

$$\varphi(z) = \int_0^{+\infty} \int_{-\infty}^{+\infty} \int_0^{2\pi} \frac{\lambda \cdot \delta(r' - a) \cdot \delta(z') \cdot d\varphi \cdot dr' \cdot dz' \cdot a}{\sqrt{a^2 + z'^2}}$$

$$\varphi(z) = \int_0^{+\infty} \delta(r \cdot a) \cdot dr \int_{-\infty}^{+\infty} \delta(z') \cdot dz' \int_0^{2\pi} \frac{\lambda \cdot a \cdot d\varphi}{\sqrt{a^2 + z'^2}} = \frac{\lambda \cdot a \cdot 2\pi}{\sqrt{a^2 + z^2}}$$

$$\boxed{\varphi(0, z) = \frac{2\pi a \cdot \lambda}{\sqrt{a^2 + z^2}}}$$

* Algunos casos límites

$$\text{Sea } z \gg a \rightarrow 1 \gg \frac{a}{z}$$

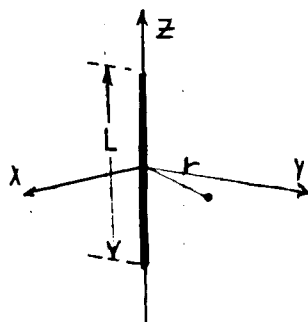
$$\varphi(z \gg a) = 2\pi a \lambda \cdot \frac{1}{|z| \sqrt{\frac{a^2}{z^2} + 1}}$$

$$\varphi(z \gg a) \cong \frac{2\pi a \lambda}{|z|} \left(1 - \frac{1}{2} \frac{a^2}{z^2} \right)$$

$$\text{si } z \gg \gg a \rightarrow \varphi \cong \frac{2\pi a \lambda}{|z|} = \frac{Q}{|z|} \quad \leftarrow \begin{array}{l} \text{potencial} \\ \text{de una} \\ \text{carga} \\ \text{puntual} \end{array}$$

$$\varphi(0, 0) = 2\pi \lambda \quad \leftarrow \text{potencial constante en el} \\ \text{origen} \therefore \vec{E}(0) = 0$$

C.



Usamos cilíndricas \Rightarrow

$$\vec{r} = (r, 0) \quad \vec{r}' = (0, z') \quad |\vec{r} - \vec{r}'| = \sqrt{r^2 + z'^2}$$

$$\lambda \delta(r) \cdot \delta(\varphi - \varphi') = \rho(r, \varphi')$$

$$\varphi(r, 0) = \int_{-L/2}^{L/2} \frac{\lambda dz'}{\sqrt{r^2 + z'^2}} = \lambda \cdot \ln |z' + \sqrt{r^2 + z'^2}| \Big|_{-L/2}^{L/2}$$

$$\boxed{\varphi(r, 0) = \lambda \cdot \ln \left| \frac{L/2 + \sqrt{r^2 + L^2/4}}{-L/2 + \sqrt{r^2 + L^2/4}} \right|}$$

$$r \ll L \rightarrow$$

$$\varphi(r \ll L) = \lambda \cdot \ln \left| \frac{\frac{L}{2} + L \cdot \left(\frac{1}{4} + \frac{r^2}{L^2} \right)^{1/2}}{-\frac{L}{2} + L \cdot \left(\frac{1}{4} + \frac{r^2}{L^2} \right)^{1/2}} \right|$$

$$= \lambda \cdot \ln \left| \frac{\frac{1}{2} + \left(\frac{1}{4} + \frac{r^2}{L^2} \right)^{1/2}}{-\frac{1}{2} + \left(\frac{1}{4} + \frac{r^2}{L^2} \right)^{1/2}} \right|$$

$$\frac{1 + \frac{r^2}{L^2}}{\frac{L^2}{L^2}} = \frac{L^2}{r^2} + 1$$

$$= \lambda \cdot \ln \left| \frac{1 + \left(1 + \frac{r^2}{L^2} \right)^{1/2}}{-1 + \left(1 + \frac{r^2}{L^2} \right)^{1/2}} \right|$$

$$= \lambda \cdot \ln \left| \frac{z + \frac{2r^2}{L^2}}{\frac{2r^2}{L^2}} \right|$$

$$\varphi(r \ll L) \approx \lambda \cdot \ln \left| \frac{L^2}{r^2} + 1 \right| \cong \lambda \cdot \frac{1}{r^2}$$

sea $r \gg L \rightarrow$

$$1 \gg \frac{L}{r}$$

$$\varphi(r \gg L) = \lambda \cdot \ln \left(\frac{\frac{L}{2} + r \sqrt{1 + \frac{L^2}{r^2}}}{\frac{L}{2} + r \sqrt{1 + \frac{L^2}{r^2}}} \right)$$

$$\varphi(r \gg L) = \lambda \cdot \ln \left(\frac{\frac{L}{r} + \left(1 + \frac{L^2}{r^2}\right)^{\frac{1}{2}}}{-\frac{L}{r} + \left(1 + \frac{L^2}{r^2}\right)^{\frac{1}{2}}} \right)$$

$$\varphi(r \gg L) = \lambda \cdot \ln \left(\frac{1 + L/r}{1 - L/r} \right)$$

$$\lambda \cdot \ln \left(\frac{1 + L/r}{1 - L/r} \right)$$

$$\approx \lambda \cdot \left(\frac{1 + L/r - 1}{1 - L/r} \right) = \lambda \left(\frac{2L/r}{1 - L/r} \right)$$

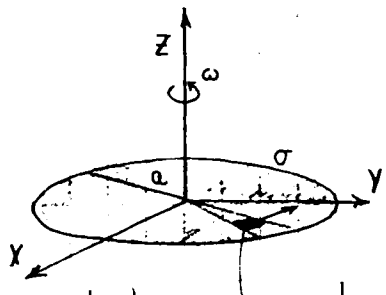
$$\varphi(r \gg L) \approx \frac{\lambda Z L}{r} \left(1 + \frac{L}{r} \right)$$

$$\varphi(r \gg L) \approx \frac{2\lambda L}{r} + 2\lambda \frac{L^2}{r^2}$$

↓ potencial ↓ parte dipolar
de una carga $Q = 2\lambda L$

4.

a)



$$r \cdot \omega = v$$

Se puede pensar que es como una distribución de corrientes

pedacito infinitesimal de discos en movimiento

$$r \cdot d\varphi \cdot dr \cdot \sigma = dq$$

$$\sigma \cdot r \cdot d\varphi \cdot dr = dq$$

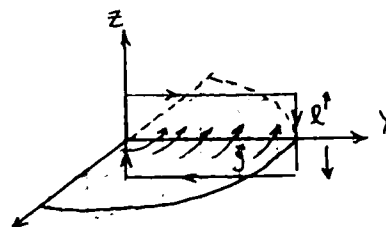
$$\sigma \cdot r \cdot \frac{d\varphi}{dt} dr = \frac{dq}{dt}$$

$$\sigma \cdot r \cdot \omega \cdot dr = di$$

$$\sigma \cdot r \cdot v \cdot dr = di$$

$$\int di = \int_0^a \sigma \cdot r \cdot \omega \cdot dr$$

$$\text{corriente total} \rightarrow I = \frac{\sigma \omega a^2}{2}$$



$$I = \int \vec{J} \cdot d\vec{S}$$

$$I = \iint_S J_z f(z) dz dy$$

hoy lo integramos en y para ver + redigir

$$\frac{\sigma \omega a^2}{2} = g \cdot a$$

$$\frac{\sigma \omega a}{2} = g \cdot \vec{J} = \frac{\sigma \omega a}{2} \cdot f(z) \hat{y}$$

$$\vec{B}(\vec{x}) = \frac{1}{c} \int_V \frac{\vec{J} \times (\vec{x} - \vec{x}')}{|\vec{x} - \vec{x}'|^3} \cdot dV' \quad \leftarrow \text{Biot-Savart}$$

$$\vec{x} = (0, z) \quad \vec{x}' = (-r', z)$$

$$\vec{B}(z) = \int_{-\infty}^{+\infty} \int_0^a \int_0^{2\pi} \frac{\sigma \omega a}{z} \frac{\delta(z') \hat{\varphi} \times (-r' \hat{r}', z \hat{z})}{(r'^2 + z^2)^{3/2}} r' dr' d\varphi' dz'$$

$$\vec{B}(z) = \frac{\sigma \omega a}{z} \int_0^a \int_0^{2\pi} \frac{(r' \hat{z}', z \hat{r}') r' dr' d\varphi'}{(r'^2 + z^2)^{3/2}}$$

estimar
parámetros
 $z' = 0$
 $r = 0$

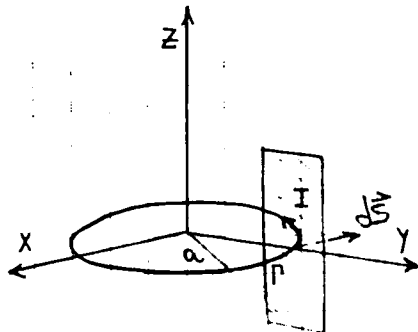
$$\vec{B}(z) = \sigma \omega a \cdot \left[\int_0^a \frac{r'^2 dr'}{(r'^2 + z^2)^{3/2}} \hat{z} + \int_0^a \frac{z r' dr'}{(r'^2 + z^2)^{3/2}} \hat{r} \right]$$

$\sigma \omega a$

$$\begin{aligned} \hat{r} \hat{\varphi} \hat{z} &= \hat{\varphi} \times \hat{z} - \hat{r} \\ \hat{\varphi} \times \hat{z} &= \hat{\varphi}' \times \hat{z}' - \hat{r}' \\ \hat{z}' &= \hat{z} \end{aligned}$$

esta no me interesa
pero igualmente su
resolución no es fácil
porque hay que convertir
el F en cartesianas
para integrar

b.



$$\vec{J}(F) = I \cdot \delta(z) \delta(r-a) \hat{\varphi}$$

$$\vec{J} \parallel d\vec{S}$$

$$\begin{aligned} F - \vec{r}' &= (0, 0, z) - (x', y', 0) \\ \vec{r} - \vec{r}' &= (0, z) - (a, 0) \end{aligned}$$

$$I = \int \int \int d\vec{S}$$

$$I = \int_{-\infty}^{+\infty} \int_0^a \int_0^{2\pi} g \hat{\varphi} \delta(z) \delta(r-a) dr' d\varphi' dz'$$

$$I = g$$

$$\hat{r} \hat{\varphi} \hat{z} \hat{r} \hat{\varphi}$$

$$\vec{B} = \frac{1}{C} \int \frac{\vec{J} \times (\vec{r} - \vec{r}')}{|r - r'|^3} dv$$

$$\vec{B} = \frac{1}{C} \int_{-\infty}^{+\infty} \int_0^a \int_0^{2\pi} g \hat{\varphi} \delta(z) \delta(r-a) \times \frac{(-a \hat{r} + z \hat{z}) a dr' d\varphi' dz'}{(z^2 + a^2)^{3/2}}$$

$$\vec{B} = \frac{1}{C} \int_{-\infty}^{+\infty} \int_0^a \int_0^{2\pi} g \delta(z) \delta(r-a) a dr' d\varphi' dz' \left[+a \hat{z} + z \hat{r} \right]$$

$$\boxed{\vec{B}(r=0) = + \frac{1}{C} \cdot \frac{I \cdot a^2 \cdot 2\pi}{(z^2 + a^2)^{3/2}} \hat{z}}$$

la parte en \vec{r} la tiro (igual de cero por simetría)

$$\text{ii)} \quad \text{Si } z \gg a \rightarrow 1 \gg \frac{a}{z}$$

$$\vec{B} = \frac{1}{C} \frac{a^2 I \cdot 2\pi}{z^3 \left(1 + \frac{a^2}{z^2} \right)^{3/2}} - z \boxed{\frac{2\pi a^2 I}{C z^3}}$$

← Para puntos
muy alejados

↓ lo tiro

III)

5.

$$\phi(r) = \frac{e}{r} \left(1 + \frac{r}{a}\right) e^{-\frac{2r}{a}}$$

a. $\frac{e}{r} e^{-\frac{2r}{a}} + \frac{e}{a} e^{-\frac{2r}{a}} = \phi(r)$

$\nabla^2 \phi = 4\pi\rho$

Este diverge en $r=0$

este theta puede converger

$\rho = q \cdot \delta(\vec{r}) = e \cdot \delta(r)$ $\xrightarrow{\text{r de esferas}}$

$\equiv \phi'(r)$ con $\phi(r) = \frac{e}{r} + \phi'(r)$ proviene de una densidad de carga

$$\nabla^2 \phi'(r) = \frac{1}{r^2} \cdot \frac{\partial}{\partial r} \left(r^2 \left[\frac{e}{a} \left(-\frac{z}{a} \right) e^{-\frac{2r}{a}} + \frac{e}{r} \left[-\frac{z}{a} e^{-\frac{2r}{a}} \right] - \frac{e}{r^2} [e^{-\frac{2r}{a}} - 1] \right] \right)$$

(en esfericas)

$$\nabla^2 \phi' = \frac{1}{r^2} \cdot \frac{\partial}{\partial r} \left[-\frac{2}{a^2} r^2 e e^{-\frac{2r}{a}} - 2 \frac{r}{a} e e^{-\frac{2r}{a}} - e e^{-\frac{2r}{a}} + e \right]$$

$$-4\pi\rho = \frac{1}{r^2} \left[-e^{-\frac{2r}{a}} \cdot \frac{2}{a} \left(-\frac{2r^2 e}{a^2} - \frac{2re}{a} - e + e e^{-\frac{2r}{a}} \right) + e^{-\frac{2r}{a}} \left(-\frac{4re}{a^2} - \frac{2e}{a} + \frac{2e}{a} e^{-\frac{2r}{a}} \right) \right]$$

$$-4\pi\rho = e^{-\frac{2r}{a}} \frac{4e}{a^3} + e^{-\frac{2r}{a}} \frac{4e}{a^2 r} + e^{-\frac{2r}{a}} \frac{2e}{a r^2} - \frac{2e}{a r^3}$$

$$- \cancel{e^{-\frac{2r}{a}} \frac{4e}{a^3}} - \cancel{e^{-\frac{2r}{a}} \frac{2e}{a r^2}} + \cancel{\frac{2e}{a r^2}}$$

$$\rho(r) = -\frac{1}{\pi} \cdot \frac{e}{a^3} e^{-\frac{2r}{a}}$$

$$\boxed{\rho(r) = -\frac{e}{\pi a^3} e^{-\frac{2r}{a}} + e \delta(r)}$$

densidad de carga periférica

c.

$$Q = \int_V \left[-\frac{e}{\pi a^3} e^{-\frac{2r}{a}} + e \delta(r) \right] dV$$

$$Q = \int_0^{2\pi} \int_0^\pi \int_0^\infty \left[-\frac{e}{\pi a^3} e^{-\frac{2r}{a}} r^2 \sin \theta \right] dr d\theta d\varphi + \iiint e \delta(\vec{r}=0) dV$$

$$-\frac{e}{\pi a^3} \cdot 2\pi \cdot 2 \int_0^\infty r^2 dr$$

$$\begin{aligned} r^2 &= u \\ 2rdr &= du \end{aligned}$$

$$\begin{aligned} &-\frac{a}{2} \left[r^2 e^{-\frac{2r}{a}} \right]_0^\infty - \int_0^\infty a e^{-\frac{2r}{a}} dr \\ &\quad + a \int_0^\infty e^{-\frac{2r}{a}} r dr \\ &\quad \left[\frac{r}{2} e^{-\frac{2r}{a}} \right]_0^\infty + a \int_0^\infty \frac{a}{2} e^{-\frac{2r}{a}} dr \\ &\quad - \frac{a^2}{2} \left[\left(-\frac{a}{2} \right) e^{-\frac{2r}{a}} \right]_0^\infty \\ &\quad + \frac{a^3}{4} \end{aligned}$$

$$\frac{4\pi}{\pi} \frac{e}{a^3} \frac{a^3}{4}$$

$$\mathcal{Q} = -e + e \rightarrow$$

$$\boxed{\mathcal{Q}=0}$$

átomo neutro

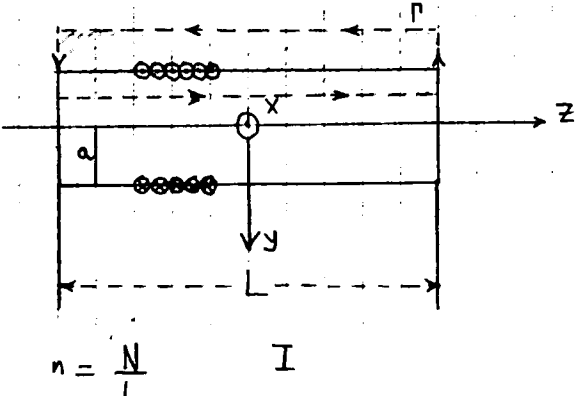
- b. La interpretación es que se puede desmenuzar el potencial en una parte correspondiente a una partícula puntual (que sería el núcleo) y otra correspondiente a la nube electrónica

$$\rho(r) = e \delta(r) - \frac{e}{\pi a^3} e^{-\frac{2r}{a}} \quad [\text{en esféricas}]$$

núcleo nube electrónica

d.

6.



a.

$$\vec{B} = \frac{1}{C} \int_V \frac{\vec{j} \times (\vec{r} - \vec{r}')}{|\vec{r} - \vec{r}'|^3} dV$$

campo en el eje \Rightarrow

$$\vec{r} = (0, z) \quad \vec{r}' = (a, z')$$

$$\vec{r} - \vec{r}' = (-a, z - z')$$

↓
puedo utilizar cilíndricas
cómo damente porque
hay un solo \hat{r}

$$I_r = \oint \vec{j} \cdot d\vec{s}$$

$$I \cdot N = \int_{-L/2}^{L/2} \int_{-\infty}^{+\infty} g \cdot \delta(y+a) dy dz'$$

$$I_n \cdot L = g \cdot L$$

$$I_n = g$$

$$\vec{j} = I_n \cdot \delta(y+a) \hat{\varphi}$$

$$\vec{B} = \frac{1}{C} \int_{-L/2}^{L/2} \int_0^{2\pi} \int_{-\infty}^{+\infty} I_n \cdot \delta(r-a) \hat{\varphi} \times \left[-a \hat{r} + (z-z') \hat{z} \right] \cdot a dr' d\varphi' dz'$$

$$\vec{B} = \frac{1}{C} \int_{-L/2}^{L/2} \int_0^{2\pi} \int_{-\infty}^{+\infty} I_n \frac{\delta(r-a) a^2}{[a^2 + (z-z')^2]^{3/2}} dr' d\varphi' dz' \hat{z} + \# \hat{r}$$

↓ Por ahora no me interesa la componente radial.

$$B_z = \frac{1}{C} I_n a^2 2\pi \int_{-L/2}^{L/2} \frac{dz'}{[a^2 + (z-z')^2]^{3/2}} \hat{z}$$

$$\int_{z-L/2}^{z+L/2} \frac{du}{(a^2 + u^2)^{3/2}} \hat{z}$$

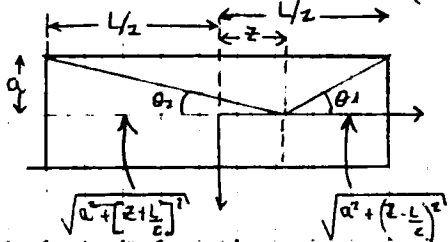
$$z - z' = u$$

$$-dz' = du$$

$$\frac{u}{a^2 \cdot \sqrt{a^2 + u^2}} \Big|_{z-L/2}^{z+L/2} = \frac{z+L/2}{a^2 \cdot (a^2 + [z+L/2]^2)^{1/2}} - \frac{z-L/2}{a^2 \cdot (a^2 + [z-L/2]^2)^{1/2}}$$

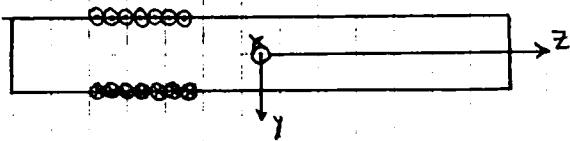
$$B_z = \frac{2\pi n I}{C} \cdot \left(\frac{z+L/2}{(a^2 + [z+L/2]^2)^{1/2}} - \frac{z-L/2}{(a^2 + [z-L/2]^2)^{1/2}} \right)$$

usando la figura
puede verse que



$$B_z = \frac{2\pi n I}{C} [\cos \theta_2 + \cos \theta_1]$$

$$b. \quad a \ll L \rightarrow 1 \gg \frac{a}{L}$$



Queremos ver en puntos P tales que

$r \ll a$, $z \ll L$ (es decir cercanos al centro del solenoide)

$$\vec{B} = \frac{1}{C} \int_V \frac{\vec{J}(\vec{r}') \times (\vec{r} - \vec{r}')}{|\vec{r} - \vec{r}'|^3} dV$$

$$\vec{r}, \vec{r}' = (r \cos \varphi, r \sin \varphi, z) - (a \cos \varphi', a \sin \varphi', z') \\ |\vec{r} - \vec{r}'| = \sqrt{r^2 + a^2 - 2ra \cos(\varphi - \varphi') + (z - z')^2} \\ r^2 \sin^2 \varphi + a^2 \sin^2 \varphi' - 2ra \sin \varphi \sin \varphi' = (z - z')^2 + r^2 + a^2 - 2ra \cos(\varphi - \varphi')$$

$$\vec{B} = \frac{1}{C} \int_{-\frac{L}{2}}^{\frac{L}{2}} \int_0^{\pi/2} \int_{-\infty}^{+\infty} I_n \cdot \delta(r - a) (-\sin \varphi \hat{x} + \cos \varphi \hat{y}) \times [(r \cos \varphi - a \cos \varphi') \hat{x} + (r \sin \varphi - a \sin \varphi') \hat{y} + (z - z') \hat{z}] \cdot a dr d\varphi dz$$

$$\vec{B}(x, 0, z) = \frac{1}{C} \int_{-\infty}^{+\infty} \int_0^{\pi/2} \int_{-\infty}^{+\infty} I_n \delta(r - a) \cdot \hat{y} \times [(r - a \cos \varphi') \hat{x} + (-a \sin \varphi') \hat{y} + (z - z') \hat{z}] \cdot a dr d\varphi dz$$

Esto es la expresión general; como me interesa B_r y es $B(r_0) = \text{cte}$ puedo tomar $\varphi = 0$ (es decir $\hat{r} = \hat{x}$) → quiero ver la componente \hat{x}

$$B_x = \frac{1}{C} \int_{-\frac{L}{2}}^{\frac{L}{2}} \int_0^{\pi/2} \int_{-\infty}^{+\infty} I_n \delta(r - a) (z - z') a \cos \varphi' dr d\varphi dz$$

$$B_x = \frac{I_n}{C} \int_{-\frac{L}{2}}^{\frac{L}{2}} \int_0^{\pi/2} \int_{-\infty}^{+\infty} \frac{(z - z') a \cos \varphi' dr d\varphi dz}{[r^2 + a^2 - 2ra \cos \varphi' + (z - z')^2]^{3/2}}$$

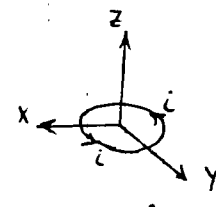
$$\begin{vmatrix} \hat{x} & \hat{y} & \hat{z} \\ \text{In } \sin \varphi' & \text{In } \cos \varphi' & 0 \\ r - a \cos \varphi' & a \sin \varphi' & z - z' \end{vmatrix} = \begin{cases} \text{In } \delta(r - a)(z - z') \cos \varphi' \hat{x} \\ \#_1 \hat{y} \\ \#_2 \hat{z} \end{cases} \text{ No Me Importan}$$

$$b^2 + (z - z')^2 = u$$

$$-2(z - z') dz = du$$

$$b^2 + u^2 = w$$

$$zu du = dw$$



$$B_x = \frac{I_n}{C} \int_0^{\pi/2} \int_{b^2/(z+L/2)}^{b^2+(z+L/2)^2} \frac{(-1/z) du a \cos \varphi' \cos \varphi'}{u^{3/2}}$$

$$= \frac{I_n}{C} \int_0^{\pi/2} \frac{1}{2} a \cos \varphi' \frac{1}{(-1/z)} \cdot \frac{1}{u^{3/2}} \Big|_{b^2/(z+L/2)}^{b^2+(z+L/2)^2} \cdot \cos \varphi'$$

$$= \frac{I_n a}{C} \int_0^{\pi/2} d\varphi' \left(\frac{1}{\sqrt{b^2 + (z - L/2)^2}} - \frac{1}{\sqrt{b^2 + (z + L/2)^2}} \right) \cos \varphi'$$

$$= \frac{I_n a}{C} \int_0^{\pi/2} \cos \varphi' d\varphi' \left[\frac{2}{L} \left(1 - \frac{1}{2} [\alpha - \beta] + \frac{3}{8} [\alpha - \beta]^2 \right) - \frac{2}{L} \left(1 - \frac{1}{2} [\alpha + \beta] + \frac{3}{8} [\alpha + \beta]^2 \right) \right]$$

detalle

$$\sqrt{r^2 + a^2 - 2ra \cos \varphi' + (z - L/2)^2}$$

$$a \ll L, r \ll a, z \ll L$$

$$r \ll L$$

$$1 \gg \frac{r}{L} \quad 1 \gg \frac{a}{L} \quad 1 \gg \frac{z}{L}$$

$$= \frac{I_n a}{C} \cdot \frac{2}{L} \int_0^{\pi/2} \cos \varphi' d\varphi' \left(1 - \frac{\alpha}{2} + \frac{\beta}{2} + \frac{3}{8} \alpha^2 + \frac{3}{8} \beta^2 - \frac{3}{8} \alpha \beta \right)$$

$$= \frac{I_n a}{C} \cdot \frac{2}{L} \int_0^{\pi/2} \cos \varphi' d\varphi' \left(1 - \frac{\alpha}{2} + \frac{\beta}{2} + \frac{3}{8} \alpha^2 + \frac{3}{8} \beta^2 - \frac{3}{8} \alpha \beta \right)$$

$$\sqrt{L^2 \left(\frac{r^2}{L^2} + \frac{a^2}{L^2} - 2 \frac{ra}{L^2} \cos \varphi' \right) + L^2 \left(\frac{z^2}{L^2} + \frac{1}{4} - \frac{z}{L} \right)}$$

$$L \cdot \left(\frac{r^2}{L^2} + \frac{a^2}{L^2} - 2 \cos \varphi' \frac{a}{L} \frac{r}{L} + \frac{z^2}{L^2} + \frac{1}{4} - \frac{z}{L} \right)^{1/2}$$

$$\frac{L}{2} \left(\left(\frac{2r^2}{L^2} + \left(\frac{2a}{L} \right)^2 + \left(\frac{2z}{L} \right)^2 - 8 \cos \varphi' \left(\frac{a}{L} \right) \left(\frac{r}{L} \right) - \frac{4z}{L} + 1 \right)^{1/2}$$

$$= \frac{L}{2} (1 + [\alpha - \beta])^{1/2}$$

$$\Rightarrow \sqrt{r^2 + a^2 - 2ra \cos \varphi' + (z + L/2)^2} \approx \frac{L}{2} (1 + [\alpha + \beta])^{1/2}$$

* continua en la hoja siguiente

C. Si $L \rightarrow \infty \Rightarrow \theta_1, \theta_2 \rightarrow 0 \Rightarrow$

$$B_Z(L \rightarrow \infty) = \frac{2\pi n I}{c} (1+1) = \frac{4\pi n I}{c} \rightarrow$$

(Sigue de los resultados ej. 2, g)

* Viene de la parte b.

$$= \frac{Ina}{c} \cdot \frac{Z}{L} \int_0^{2\pi} \cos \varphi' d\varphi' (\beta - \frac{3}{2} \alpha \beta)$$

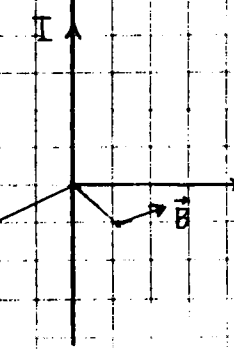
$$= \frac{Ina}{c} \cdot \frac{Z}{L} \cdot \frac{4Z}{L} \int_0^{2\pi} \cos \varphi' d\varphi' \left(1 - \frac{3}{2} \left[\frac{4r^2}{L^2} + \frac{4a^2}{L^2} + \frac{4z^2}{L^2} - \frac{8}{L^2} \arccos \varphi' \right] \right)$$

$$= \frac{4Z}{L} \cdot \frac{4}{L^2} \int_0^{2\pi} \cos \varphi' d\varphi' \left[\frac{L^2}{4} - \frac{3}{2} r^2 - \frac{3}{2} a^2 + \frac{3}{2} z^2 + 3 \arccos \varphi' \right]$$

$$= \int_0^{2\pi} 3 \cdot a \cdot r \cdot \cos^2 \varphi' d\varphi'$$

$$B_F = \frac{Ina}{c} \cdot \frac{Z}{L} \cdot \frac{4Z}{L} \cdot \frac{4}{L^2} \cdot 3 \cdot a \cdot r \cdot \pi = \boxed{\frac{96\pi n I}{c} \left(\frac{a^2 \cdot Z \cdot r}{L^4} \right)}$$

9. Se quiere calcular la fuerza que el campo \vec{B} del hilo hace sobre la espira

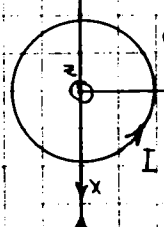


$$\vec{B} = \frac{2I}{rC} \hat{\varphi}$$

$$\vec{F} = \frac{1}{C} \oint_C I d\ell \times \vec{B}$$

$$\vec{C} = \frac{1}{C} \int_C \vec{x} \times (Id\ell \times \vec{B})$$

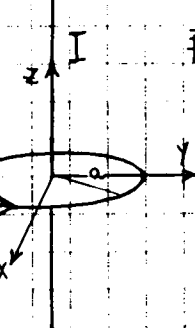
a)



coordenadas
cilíndricas
en el plano
de la espira.

b)

Coordenadas cilíndricas en el plano de la espira



la fuerza es nula y por
ende el torque
también lo es.

No produce efecto de giro
temporal sobre la espira

$$\vec{C} = 0$$

$$\vec{F} = \frac{1}{C} \left(\int_0^\pi I a d\varphi (-\sin\varphi \hat{x} + \cos\varphi \hat{y}) \right)$$

$$x - \frac{2I}{C} \cdot \frac{1}{\sqrt{x^2+y^2}} \hat{z} +$$

$$+ \int_0^{2\pi} I a d\varphi (-\sin\varphi \hat{x} + \cos\varphi \hat{y}) \times \frac{2I}{C} \frac{1}{\sqrt{x^2+y^2}} \hat{z}$$

$$\vec{F} = \frac{1}{C} \left[\int_0^\pi -\frac{2I^2 a}{rC} d\varphi (\sin\varphi \hat{y} + \cos\varphi \hat{x}) + \int_0^{2\pi} \frac{2I^2 a}{rC} d\varphi (\sin\varphi \hat{y} + \cos\varphi \hat{x}) \right]$$

$$\frac{2I^2 a}{rC} \left[-\int_0^\pi \sin\varphi d\varphi \hat{y} - \int_0^\pi \cos\varphi d\varphi \hat{x} + \int_0^{2\pi} \sin\varphi d\varphi \hat{y} + \int_\pi^{2\pi} \cos\varphi d\varphi \hat{x} \right]$$

$$\cos\varphi \left[\hat{y} \Big|_0^\pi + \sin\varphi \hat{x} \Big|_0^\pi - \cos\varphi \hat{y} \Big|_\pi^{2\pi} + \sin\varphi \hat{x} \Big|_\pi^{2\pi} \right]$$

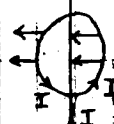
$$(-1 - 1)\hat{y} - 0\hat{x} - (1 + 1)\hat{y} + 0\hat{x}$$

$$\vec{F} = \frac{2I^2 a}{(x^2+y^2)^{3/2}} (-4) \hat{y}$$

$$\vec{F} = -\frac{8I^2 a}{(x^2+y^2)^{3/2}} \hat{y}$$

obs.

Esta fuerza tiende a deformar
la espira hacia la izquierda



$$[\vec{F}] = \frac{C^2}{m^2}$$

unidades de la
fuerza

$$\vec{C} = \frac{1}{C} \int_C \vec{x} \times (Id\ell \times \vec{B})$$

$$\vec{C} = \frac{1}{C} \frac{2I^2 a}{rC} \int_0^\pi (x\hat{x} + y\hat{y}) \times (\sin\varphi \hat{y} + \cos\varphi \hat{x}) d\varphi + \int_\pi^{2\pi} (x\hat{x} + y\hat{y}) \times (\sin\varphi \hat{y} + \cos\varphi \hat{x}) d\varphi$$

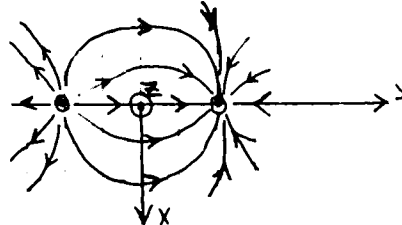
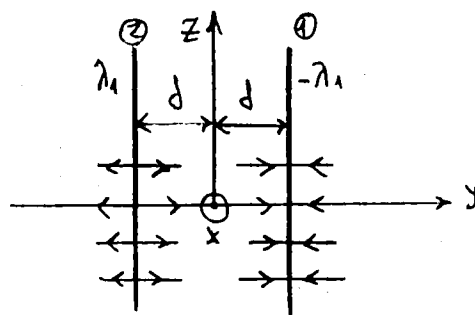
$$\vec{C} = \frac{2I^2 a}{[x^2+y^2]^{3/2} C^2} \left(\int_0^\pi (x \sin\varphi + y \cos\varphi) d\varphi + \int_\pi^{2\pi} (x \sin\varphi - y \cos\varphi) d\varphi \right)$$

$$\Rightarrow \vec{C} = 0 \quad \text{No hay efecto de giro}$$

$$\begin{array}{ccc} \hat{x} & \hat{y} & \hat{z} \\ x & y & 0 \\ r \cos\varphi & r \sin\varphi & 0 \\ x \sin\varphi \hat{z} - y \cos\varphi \hat{z} \end{array}$$

IV. Principio de Superposición

10. a.



El campo de cada hilo es:

$$\vec{E} = \frac{2\lambda}{r} \hat{r}$$

$$\vec{E} = \frac{2\lambda}{r} (\cos \varphi \hat{x} + \sin \varphi \hat{y})$$

$$\vec{E} = \frac{2\lambda \cdot x}{r^2} \hat{x} + \frac{2\lambda \cdot y}{r^2} \hat{y}$$

Habría que desplazar ambos campos en el punto fuente

$$\vec{E} = \frac{2\lambda \cdot x}{x^2 + (y-d)^2} \hat{x} + \frac{2\lambda \cdot (y-d)}{x^2 + (y-d)^2} \hat{y}$$

$$\vec{E}_1 = -\frac{2\lambda_1 \cdot x}{x^2 + (y-d)^2} \hat{x} - \frac{2\lambda_1 \cdot (y-d)}{x^2 + (y-d)^2} \hat{y}$$

$$\vec{E}_2 = \frac{2\lambda_1 \cdot x}{x^2 + (y+d)^2} \hat{x} + \frac{2\lambda_1 \cdot (y+d)}{x^2 + (y+d)^2} \hat{y}$$

$$\boxed{\vec{E} = 2\lambda_1 \cdot x \left(\frac{1}{x^2 + (y+d)^2} - \frac{1}{x^2 + (y-d)^2} \right) \hat{x} + 2\lambda_1 \cdot \left(\frac{(y+d)}{x^2 + (y+d)^2} - \frac{(y-d)}{x^2 + (y-d)^2} \right) \hat{y}}$$

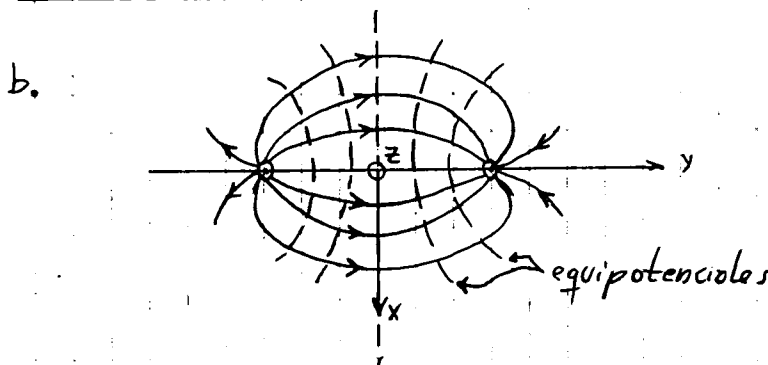
$$\vec{E}(0,0,0) = 2\lambda_1 \left(\frac{d}{d^2} - \frac{-d}{d^2} \right) \hat{y} = \frac{4\lambda_1}{d} \hat{y}$$

$$\varphi_1 = +2\lambda_1 \cdot \ln \sqrt{x^2 + (y-d)^2}$$

$$-\frac{\partial \varphi_1}{\partial x} = -2\lambda_1 \cdot \frac{1}{\sqrt{x^2 + (y-d)^2}} \cdot \frac{1 \cdot x}{\partial x} = \vec{E}_1 \cdot \hat{x}$$

$$\varphi_2 = -2\lambda_1 \cdot \ln \sqrt{x^2 + (y+d)^2}$$

$$\boxed{\varphi(x,y,z) = 2\lambda_1 \cdot \ln \left(\sqrt{\frac{x^2 + (y-d)^2}{x^2 + (y+d)^2}} \right)}$$



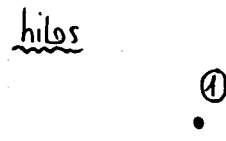
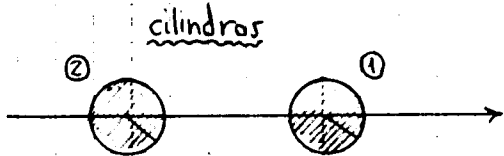
los equipotenciales son cilindros curvos de sección igual a la sección transversal del equipotencial de dos cargas puntuales +q y -q

$$\vec{E}(x,0,z) = 2\lambda_1 \cdot x \left(\frac{1}{x^2 + d^2} - \frac{1}{x^2 + d^2} \right) \hat{x} + 2\lambda_1 \left(\frac{d}{x^2 + d^2} - \frac{-d}{x^2 + d^2} \right) \hat{y}$$

$$\vec{E}(x,0,z) = 2\lambda_1 \cdot \frac{2d}{x^2 + d^2} \hat{y}$$

El campo \vec{E} en el plano equidistante entre los hilos es en \hat{y} (es decir \perp a dicho plano).

c.



Aquí no puede usarse superposición porque el campo de ① no es el mismo si está presente ② que si no lo está. Hay recomendación de cargar para que ambos cilindros mantengan sus potenciales diferentes constantes.

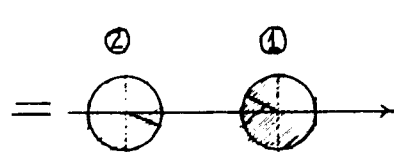
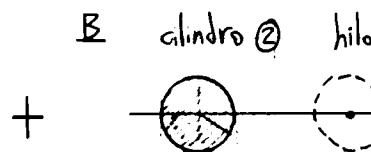
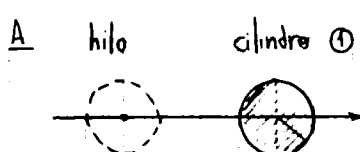
Estoy pensando, quien sabe por qué, en cilindros conductores

En este problema se puede usar superposición porque al considerar el efecto de cada hilo por separado puedo olvidarme del otro.

Es decir la presencia de ② no hace que ① varíe el φ_1 . φ_1 es el mismo con ② o sin ②.

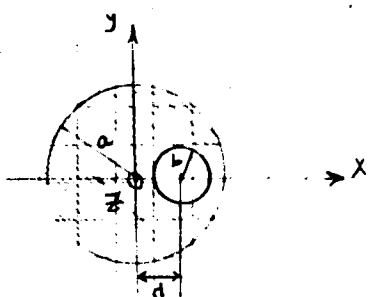
La presencia de ② no cambia la distribución de carga en ①

Podríamos aplicar superposición de la siguiente forma:

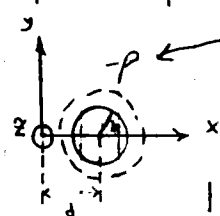
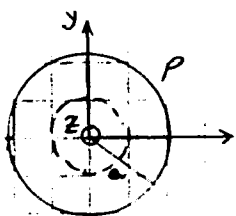


donde el hilo en A tiene el mismo φ que el cilindro ②, mientras que en B tiene el mismo φ que el cilindro ①.

11.



a. Podemos utilizar superposición para este caso:



$$|rr\hat{r} - d\hat{x}| > b$$

$$|rr\hat{r} - d\hat{x}| < b$$

$$E = \frac{2\pi\rho}{r} r \hat{r}$$

$$E = 2\pi\rho \sqrt{x^2 + y^2} (\cos\varphi \hat{x} + \sin\varphi \hat{y})$$

$$E = 2\pi\rho (x\hat{x} + y\hat{y})$$

$$E = \frac{\sqrt{(x-d)^2 + y^2}}{r} \rho \pi b^2 \hat{z}$$

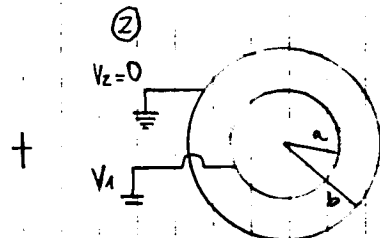
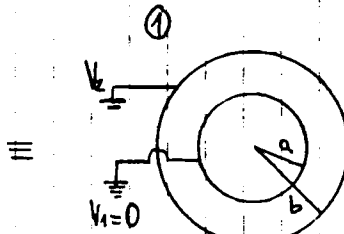
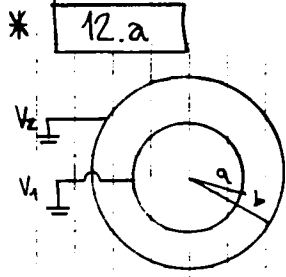
$$E = \frac{-2\pi\rho \pi b^2}{\sqrt{(x-d)^2 + y^2}} \hat{z}$$

$$E = -\frac{2\pi\rho \pi r^2}{\sqrt{(x-d)^2 + y^2}} \hat{z}$$

$$E = -2\pi\rho ((x-d)\hat{x} + y\hat{y})$$

dentro de la cavidad

$$\boxed{\vec{E} = 2\pi\rho (d\hat{x})}$$



$$\phi(\text{cilindro}) = -4\pi(\text{radio}) \cdot \sigma \cdot \ln r \quad (\text{expresión genérica})$$

① interior

$$r < a \quad V = 0$$

$$r > a \quad V = -4\pi a \sigma_1 \ln r + C_2$$

$$C_2 = 4\pi a \sigma_1 \ln a$$

$$\left| \begin{array}{ll} \text{exterior} & = V_z \\ r < b & V = -4\pi b \sigma_2 \ln b \end{array} \right.$$

$$\left| \begin{array}{ll} r > b & V = -4\pi b \sigma_2 \ln r + C_4 \\ & \downarrow 0 \end{array} \right.$$

$$\frac{-V_z}{\ln b} = 4\pi b \sigma_2$$

$$r < a \quad V = 0 + V_z + C_1 \quad \left\{ \begin{array}{l} V(a) = \\ + V_z + C_1 \end{array} \right.$$

$$a < r < b \quad V = -4\pi a \sigma_1 \ln r + V_z + C_2 \quad \left\{ \begin{array}{l} V(a) = -4\pi a \sigma_1 \ln a + V_z + C_2 \\ V(b) = -4\pi a \sigma_1 \ln b + V_z + C_2 \end{array} \right.$$

$$r > b \quad V = -4\pi a \sigma_1 \ln r + V_z \frac{\ln r}{\ln b} + C_5 \quad \left\{ \begin{array}{l} V(b) = -4\pi a \sigma_1 \ln b + V_z + C_5 \end{array} \right.$$

$$V(a) = 0 = V_z + C_1 \rightarrow C_1 = -V_z$$

$$\begin{aligned} &\rightarrow C_2 = C_5 \\ &0 = C_2 - C_1 - 4\pi a \sigma_1 \ln a \\ &0 = C_2 + V_z - 4\pi a \sigma_1 \ln a \end{aligned}$$

$$\rightarrow V_z = 4\pi a \sigma_1 (\ln a - \ln b)$$

$$C_2 = 4\pi a \sigma_1 \ln b$$

$$4\pi a \sigma_1 = \frac{V_z}{(\ln a - \ln b)}$$

①

$$r < a \quad V = 0$$

$$a < r < b \quad V = -\frac{V_z \cdot \ln r}{[\ln a - \ln b]} + V_z + \frac{V_z \ln b}{[\ln a - \ln b]} = V_z \left(\frac{-\ln r + \ln a - \ln b + \ln b}{\ln a - \ln b} \right)$$

$$r > b \quad V = -\frac{V_z \cdot \ln r}{[\ln a - \ln b]} + V_z \cdot \frac{\ln r}{\ln b} + \frac{V_z \ln b}{[\ln a - \ln b]} =$$

$$V_z \left(\frac{-\ln r \cdot \ln b + \ln a \cdot \ln r - \ln b \cdot \ln r + (\ln b)^2}{(\ln a - \ln b)(\ln b)} \right)$$

$$V = V_z \left[\frac{\ln a \cdot \ln r - 2 \ln r \cdot \ln b + (\ln b)^2}{(\ln a - \ln b)(\ln b)} \right]$$

②

interior

$$\frac{-V_1}{2\ln a} = 2\pi\sigma_1 a$$

exterior

$$r < a \quad V + V_1 = -4\pi\sigma_1 a \ln r$$

$$r > a \quad V = -4\pi\sigma_1 a \ln r = \frac{V_1}{\ln a} \cdot \ln r$$

$$\sigma_2 = -\sigma_1 \frac{a}{b} = \frac{V_1}{4\pi \ln a \cdot b}$$

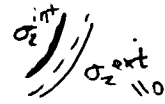
$$r < b \quad V = -4\pi b \sigma_2 \ln r + C_1$$

$$r > b \quad V = 0$$

$$C_1 = 4\pi b \sigma_2 \ln b$$

$$Q^N = 0 = \sigma_2 \cdot b + \sigma_1 \cdot a = 0$$

$$\sigma_2 = -\sigma_1 \frac{a}{b}$$



b por
conexión
a tierra

$$r < a \quad V = V_1 - \frac{V_1}{\ln a} (\ln r - \ln b) + C_1 \quad V(a) = V_1 - \frac{V_1}{\ln a} (\ln a - \ln b) + C_1$$

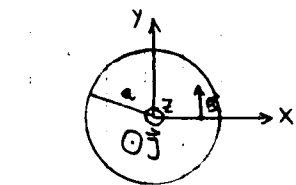
$$a < r < b \quad V = \frac{V_1}{\ln a} \cdot \ln r - \frac{V_1}{\ln a} (\ln r - \ln b) + C_2 \quad V(a) = \frac{V_1 \ln b}{\ln a} + C_2$$

$$r > b \quad V = \frac{V_1}{\ln a} \cdot \ln r + C_3 \quad V(b) = \frac{V_1 \ln b}{\ln a} + C_3 = 0 \quad C_2 = C_3 \equiv C$$

$$C = -\frac{V_1 \ln b}{\ln a}$$

El cilindro no puede estar hecho de material conductor, porque de estarlo el campo eléctrico E sería nulo en su interior.

b. Aquí también podemos superponer:



$$I = \int j \cdot d\vec{s}$$

$$I = J \cdot \pi \cdot r^2$$

$$B \cdot 2\pi r = \frac{z}{c} J \cdot \pi \cdot r^2$$

$$B = \frac{z}{c} J \pi r \hat{\phi}$$

$$B = \frac{z}{c} J \pi \sqrt{x^2 + y^2} \hat{\phi}$$

$$B = \frac{z}{c} J \pi \sqrt{x^2 + y^2} (-\sin \varphi \hat{x} + \cos \varphi \hat{y})$$

$$\vec{B} = \frac{z}{c} J \pi (-y \hat{x} + x \hat{y})$$

$$(x-d)^2 + y^2 < b^2$$

$$B \cancel{\frac{2\pi k}{c}} = -\frac{z}{c} J \pi r \hat{x}$$

$$B = -\frac{z}{c} J \pi r (\sin \varphi \hat{x} + \cos \varphi \hat{y})$$

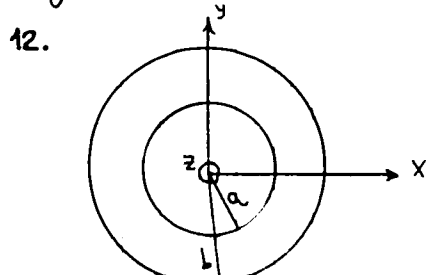
$$\vec{B} = +\frac{z}{c} J \pi \sqrt{(x-d)^2 + y^2} (\sin \varphi \hat{x} - \cos \varphi \hat{y})$$

$$\vec{B} = \frac{z}{c} J \pi r \left(\frac{y}{r} \hat{x} - \frac{(x-d)}{r} \hat{y} \right)$$

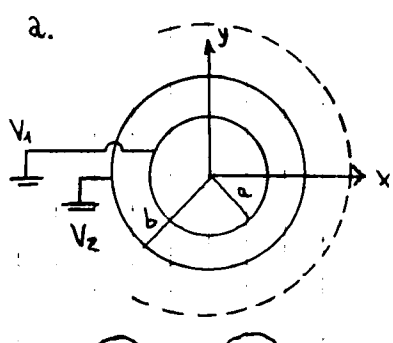
$$\vec{B} = \frac{z}{c} J \pi (y \hat{x} - [x-d] \hat{y})$$

$$\boxed{\vec{B} = \frac{z}{c} J \pi \cdot d \hat{y}}$$

Se ha podido observar que la corriente ha efectivamente congelado el campo; los valores son iguales a los existentes sin la corriente y $E \perp B$



a.



$$= \frac{V_2}{\pi \sigma_2 b} + \frac{V_1}{\pi \sigma_1 a}$$

clínadro # ②

Los cilindros son conductores

$$\textcircled{1} \quad -4\pi \sigma_2 b \ln r + C_1 \quad \frac{rb}{C_2}$$

$$\textcircled{2} \quad -4\pi \sigma_1 a \ln r + C_3 \quad \frac{ra}{C_4}$$

$$r > b \quad V = -4\pi \sigma_2 b \ln r - 4\pi \sigma_1 a \ln r + C_1 + C_3$$

$$b > r > a \quad V = C_2 - 4\pi \sigma_1 a \ln r + C_3$$

$$r < a \quad V = C_4$$

$$r < a \quad V = C_4$$

$$r = a \quad V_1 = C_4 \rightarrow V = V_1 \quad (r < a)$$

$$a < r < b \quad V = C_2 + C_3 - 4\pi\sigma_1 a \ln r \rightarrow \begin{cases} V(r=a) = V_1 = C_2 + C_3 - 4\pi\sigma_1 a \ln a \\ V(r=b) = V_2 = C_2 + C_3 - 4\pi\sigma_1 a \ln b \end{cases}$$

$$r > b \quad V = -4\pi\sigma_2 \ln r \cdot b - 4\pi\sigma_1 \ln r \cdot a + C_1 + C_3$$

$$V_1 - V_2 = 4\pi\sigma_1 a \left(\ln \frac{b}{a} \right)$$

$$V(r=b) = V_2 = -4\pi\sigma_2 \ln b \cdot b - 4\pi\sigma_1 \ln b \cdot a + C_1 + C_3.$$

$$r > b \quad V = -4\pi \ln r (\sigma_2 b + \sigma_1 a) + V_2 + 4\pi \ln b (\sigma_2 b + \sigma_1 a)$$

$$a < r < b \quad V = -4\pi \ln r \cdot \sigma_1 a + V_2 + 4\pi \sigma_1 a \ln b \\ " + V_1 + 4\pi \sigma_1 a \ln a$$

$$r < a \quad V = V_1$$

$$r > b \quad V = 4\pi (\sigma_2 b + \sigma_1 a) \ln \left(\frac{b}{r} \right) + V_2$$

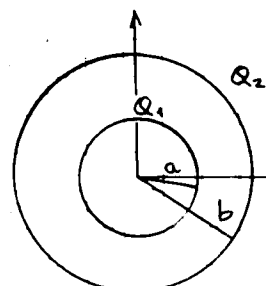
$$a < r < b \quad V = 4\pi \sigma_1 a \ln \left(\frac{b}{r} \right) + V_2$$

$$4\pi \sigma_1 a \ln \left(\frac{a}{r} \right) + V_1$$

$$r < a \quad V = V_1$$

b. Ahora tenemos cilindros cargados (no conductores).

Podemos superponer porque la carga es fija



cilindro
radio a

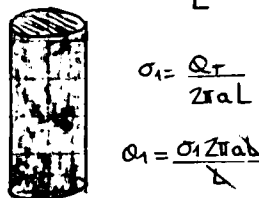
cilindro
radio b

$$\begin{array}{lll} r > b & -4\pi a \sigma_1 \ln r + C_1 & -4\pi b \sigma_2 \ln r + C_3 \\ a < r < b & -4\pi a \sigma_1 \ln r + C_1 & C_1 \\ r < a & C_2 & C_2 \end{array}$$

$$\begin{array}{ll} C_1 & \\ C_2 & \end{array}$$

cilindro 1

$$Q_1 = \frac{Q_T}{L}$$



$$\sigma_1 = \frac{Q_T}{2\pi a L}$$

$$Q_1 = \frac{\sigma_1 2\pi a b}{L}$$

$$\begin{aligned} \text{E. } 2\pi r \sigma_1 &= 4\pi r \sigma_2 \quad \text{análogamente al (2)} \\ E &= \frac{4\pi b \sigma_2}{r} \\ E &= 0 \end{aligned}$$

$$r < a \quad V = \frac{D_1}{C_2 + C_4} \quad \rightarrow V(r=a) = D_1$$

$$V(r=a) = -4\pi a \sigma_1 \ln a + D_2$$

$$a < r < b \quad V = -4\pi a \sigma_1 \ln r + \frac{D_2}{C_1 + C_1} \quad \rightarrow \quad V(r=b) = -4\pi a \sigma_1 \ln b + D_2$$

$$V(r=b) = -4\pi a \sigma_1 \ln b + D_2$$

$$r > b \quad V = -4\pi a \sigma_1 \ln r - 4\pi b \sigma_2 \ln r + \frac{D_2}{C_1 + C_3} \quad \rightarrow \quad V(r=b) = D_3 \\ -4\pi a \sigma_1 \ln b - 4\pi b \sigma_2 \ln b$$

Pero $D_1 = -4\pi a \sigma_1 \ln a \rightarrow$
puedo formar
 $D_2 = 0$.

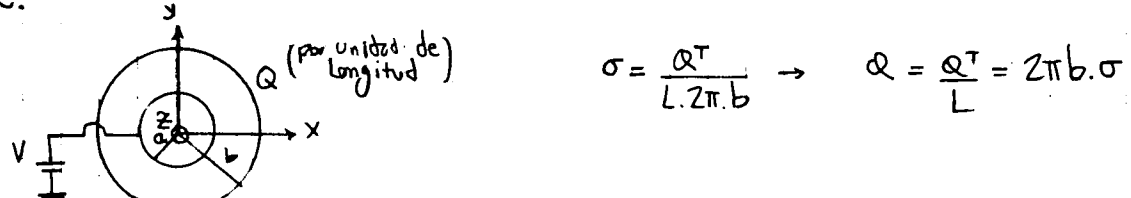
$$D_3 - D_2 = 4\pi b \sigma_2 \ln b$$

$$D_2 - D_1 = 4\pi a \sigma_1 \ln a$$

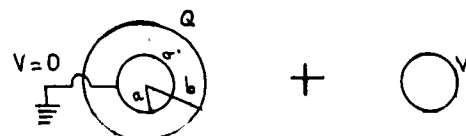
$r > b$	$V = -4\pi a \sigma_1 \ln r + 4\pi b \sigma_2 \ln \left(\frac{b}{r}\right) = -2Q_1 \ln r + 2Q_2 \ln \left(\frac{b}{r}\right)$
$a < r < b$	$V = -4\pi a \sigma_1 \ln r = -2Q_1 \ln r$
$r < a$	$V = -4\pi a \sigma_1 \ln a = -2Q_1 \ln a$

Si los cilindros fuesen conductores se inducen σ' sobre cada uno de ellos debidas a la influencia del otro. Al superponer las configuraciones se debe tener en cuenta.

C.



$$\sigma = \frac{Q}{L \cdot 2\pi b} \rightarrow Q = \frac{Q}{L} = 2\pi b \cdot \sigma$$



$r < a$	<u>corteza cond.</u>	<u>corteza ext</u>	<u>corteza cond.</u>
	$-4\pi a \sigma' \ln a$		$V = -4\pi a \sigma' \ln a \rightarrow \sigma = -\frac{V}{4\pi a \ln a}$
$r < b$		$-2Q \ln b$	
$r > a$	$-4\pi a \sigma' \ln r$		
$r > b$		$-2Q \ln r$	$-4\pi a \sigma' \ln r = \frac{V}{\ln a} \ln r$

$$\begin{aligned} r < a & \quad -4\pi a \sigma' \ln a - 2Q \ln b + C_1 \\ a < r < b & \quad -4\pi a \sigma' \ln r - 2Q \ln b + C_2 \\ r > b & \quad -4\pi a \sigma' \ln r - 2Q \ln r + C_3 \end{aligned}$$

$$\begin{aligned} V(a) &= -4\pi a \sigma' \ln a - 2Q \ln b + C_1 \quad \rightarrow C_1 = C_2 = 0 \\ V(b) &= -4\pi a \sigma' \ln b - 2Q \ln b + C_2 \quad \rightarrow C_2 = C_3 = 0 \\ &\quad -4\pi a \sigma' \ln b - 2Q \ln b + C_3 \end{aligned}$$

$$\text{pero } V(a) = 0 = -4\pi a \sigma' \ln a - 2Q \ln b$$

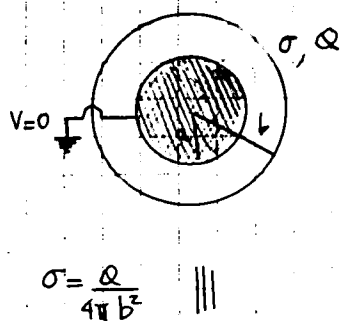
$r < a$	V	$\sigma' = -\frac{8Q}{2\pi a} \frac{\ln b}{\ln a} = \frac{Q}{\pi a} \frac{\ln b}{\ln a}$
$a < r < b$	$-2Q \ln b + 2Q \frac{\ln b}{\ln a} \ln r + \frac{V}{\ln a} \ln r$	
$r > b$	$-2Q \ln r + 2Q \frac{\ln b}{\ln a} \ln r + \frac{V}{\ln a} \ln r$	

La corteza conductora interior contribuye con $V(r) = \frac{V}{\ln r}$, pese a que se induce una carga por unidad de longitud de:

$$\sigma_{\text{corteza}}^{\text{ind}} = Q \cdot \frac{\ln b}{\ln a}$$

que es compensada por la batería a fin de mantener V constante. Luego la corteza exterior aporta $-2Q \ln r$ afuera y $2Q \ln b$ adentro.

b.



$$\begin{array}{ll} r > a & V = -\frac{Q}{r} + C_1 \\ r < a & V = C_1 \end{array}$$

$$\begin{array}{ll} r > b & V = \frac{Q}{r} = \frac{4\pi a^2 \sigma}{r} + C_2 \\ r < b & V = C_2 \end{array}$$

- a. El casquete esférico induce una carga $-Q'$ sobre la esfera conductora que se equilibra exactamente con la del casquete.
El $+Q'$ se va por tierra

$$r > b \quad V = +\frac{4\pi a^2 \sigma'}{r} + C_3 + C_2 + \frac{4\pi b^2 \sigma}{r}$$

$$V(r=b) = C_3 + C_2 + \frac{4\pi a^2 \sigma'}{b} + \frac{4\pi b^2 \sigma}{b}$$

$$a < r < b \quad V = C_1 + \frac{4\pi a^2 \sigma'}{r} + C_3$$

$$\left\{ \begin{array}{l} V(r=a) = 0 = C_1 + C_3 + 4\pi a^2 \sigma' \\ V(r=b) = C_1 + C_3 + 4\pi \frac{a^2}{b} \sigma' \end{array} \right.$$

$$r < a \quad V = C_4 + C_1$$

$$\left\{ \begin{array}{l} V(r=a) = 0 = C_1 + C_4 \\ C_1 = -C_4 \end{array} \right.$$

$r > b$	$V = \frac{4\pi(a^2 \sigma' + b^2 \sigma)}{r}$
$a < r < b$	$V = \frac{4\pi a^2 \sigma'}{r} - 4\pi a \sigma'$
$r < a$	$V = 0$

$$C_2 + C_3 + \frac{4\pi a^2 \sigma'}{b} + 4\pi b \sigma =$$

$$C_1 + C_3 + \frac{4\pi a^2 \sigma'}{b}$$

$$C_1 = C_2 + 4\pi b \sigma$$

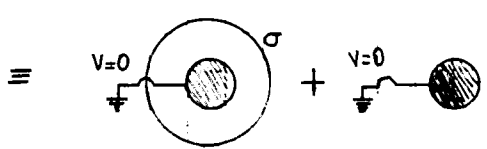
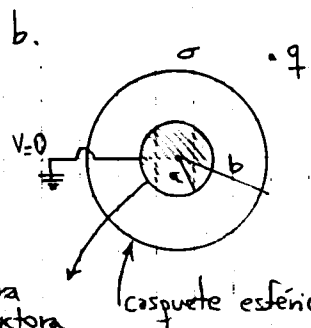
$$C_1 = -C_3 - 4\pi a \sigma'$$

$$0 = 4\pi b \sigma + 4\pi a \sigma'$$

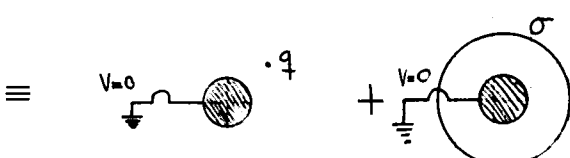
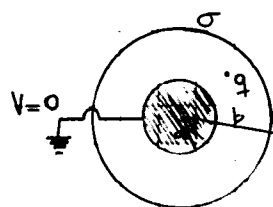
$$\sigma' = -\frac{b}{a} \sigma$$

$$r > b \quad \left\{ \begin{array}{l} V = \frac{4\pi}{r} (\sigma a b + b^2 \sigma) \\ V = \frac{4\pi}{r} (a b \sigma + b^2 \sigma) \end{array} \right.$$

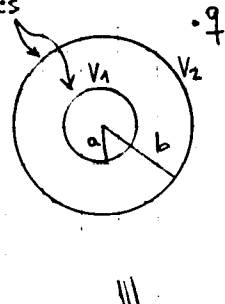
$$a < r < b \quad \left\{ \begin{array}{l} V = \frac{4\pi}{r} (-\frac{b}{a} \sigma) - 4\pi a (\sigma) \cdot \frac{b}{a} \\ V = -\frac{4\pi a b \sigma}{r} + 4\pi a b \sigma \end{array} \right.$$



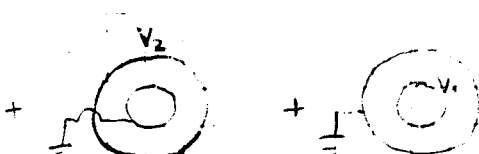
se puede separar así porque la carga q y el casquete no se perturban entre sí



Ambos son conductores



$$\equiv \begin{cases} * r > b \\ \text{---} \\ * r < b \end{cases} \quad \begin{array}{c} \text{---} \\ + \\ \text{---} \end{array}$$



en conductor
junto
el exterior
(entre o no a tierra)